

Opis projektu:  
Pozycja:  
Data:  
Projektował:

**Bolesław płyta fundamentowa**  
**15.05.24**

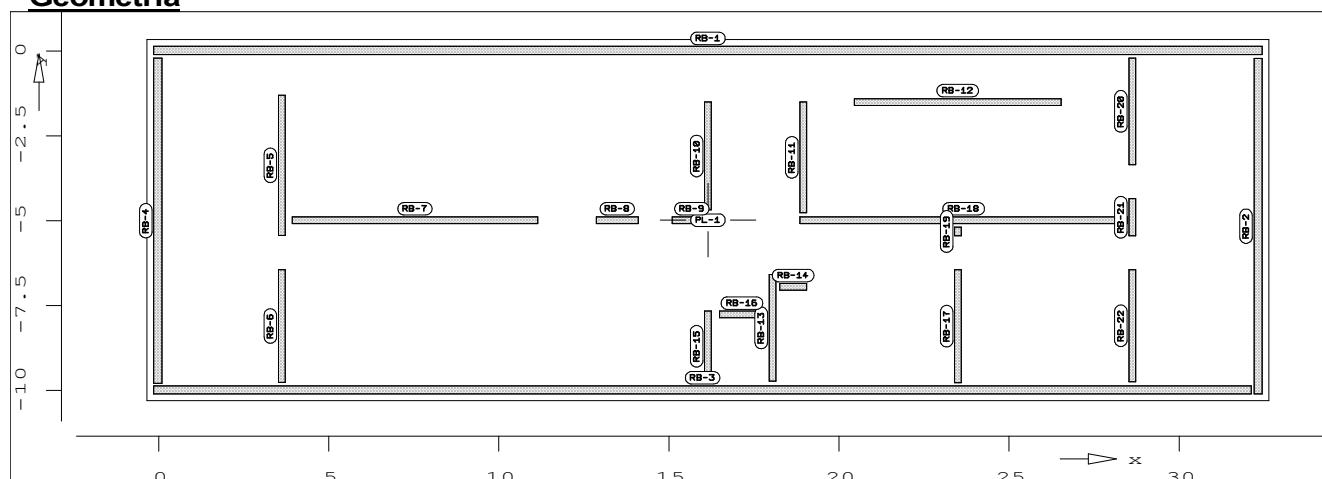
**PlaTo 4.0**

Strona:

Model MES: **2419001**

Projekt: **PIYTY**

## Geometria



### Poz. PL-1 - Obszar płyty

Strukt.                    x =    -0.34    32.64    32.64    -0.34    -0.34    m  
                              y =   -10.30 -10.30    0.34    0.34   -10.30    m

Materiał                Płyta izotropowa  
Grubość =                30.0    cm  
Gęstość =                25.00   kN/m3  
Moduł E =                3.00e+007   kN/m2  
Mue                        =                0.20

### Poz. RB-1 - Podpora liniowa

Strukt.                    x =    -0.14    32.44    m  
                              y =    0.02    0.02    m

Podpora                Ścisk./rozc. Przem. w kierunku t = 2.00e+006 kN/m2  
                              (d = 0.24 m    h = 3.60 m    Mod E = 3.00e+007 kN/m2)

### Poz. RB-2 - Podpora liniowa

Strukt.                    x =    32.32    32.32    m  
                              y =   -0.22 -10.10    m

Podpora                Ścisk./rozc. Przem. w kierunku t = 2.00e+006 kN/m2  
                              (d = 0.24 m    h = 3.60 m    Mod E = 3.00e+007 kN/m2)

### Poz. RB-3 - Podpora liniowa

Strukt.                    x =    32.12    -0.14    m  
                              y =   -9.98    -9.98    m

Podpora                Ścisk./rozc. Przem. w kierunku t = 2.00e+006 kN/m2  
                              (d = 0.24 m    h = 3.60 m    Mod E = 3.00e+007 kN/m2)

### Poz. RB-4 - Podpora liniowa

Strukt.                    x =    -0.02    -0.02    m  
                              y =   -9.79    -0.21    m

Podpora                Ścisk./rozc. Przem. w kierunku t = 2.00e+006 kN/m2  
                              (d = 0.24 m    h = 3.60 m    Mod E = 3.00e+007 kN/m2)

Opis projektu:  
Pozycja:  
Data:  
Projektował:

**Bolesław płyta fundamentowa**  
**15.05.24**

**PlaTo 4.0**

Strona:

Model MES: **2419001**

Projekt: **PIYTY**

### **Poz. RB-5 - Podpora liniowa**

Strukt.                    x =        3.62        3.62 m  
                              y =        -1.30        -5.43 m

Podpora                Ścisk./rozc.    Przem. w kierunku t = 1.67e+006 kN/m2  
                              (d = 0.20 m    h = 3.60 m    Mod E = 3.00e+007 kN/m2)

### **Poz. RB-6 - Podpora liniowa**

Strukt.                    x =        3.62        3.62 m  
                              y =        -6.44        -9.76 m

Podpora                Ścisk./rozc.    Przem. w kierunku t = 1.67e+006 kN/m2  
                              (d = 0.20 m    h = 3.60 m    Mod E = 3.00e+007 kN/m2)

### **Poz. RB-7 - Podpora liniowa**

Strukt.                    x =        3.92        11.14 m  
                              y =        -4.98        -4.98 m

Podpora                Ścisk./rozc.    Przem. w kierunku t = 1.67e+006 kN/m2  
                              (d = 0.20 m    h = 3.60 m    Mod E = 3.00e+007 kN/m2)

### **Poz. RB-8 - Podpora liniowa**

Strukt.                    x =        12.86        14.10 m  
                              y =        -4.98        -4.98 m

Podpora                Ścisk./rozc.    Przem. w kierunku t = 1.67e+006 kN/m2  
                              (d = 0.20 m    h = 3.60 m    Mod E = 3.00e+007 kN/m2)

### **Poz. RB-9 - Podpora liniowa**

Strukt.                    x =        15.10        16.25 m  
                              y =        -4.98        -4.98 m

Podpora                Ścisk./rozc.    Przem. w kierunku t = 1.67e+006 kN/m2  
                              (d = 0.20 m    h = 3.60 m    Mod E = 3.00e+007 kN/m2)

### **Poz. RB-10 - Podpora liniowa**

Strukt.                    x =        16.15        16.15 m  
                              y =        -1.50        -4.68 m

Podpora                Ścisk./rozc.    Przem. w kierunku t = 1.67e+006 kN/m2  
                              (d = 0.20 m    h = 3.60 m    Mod E = 3.00e+007 kN/m2)

### **Poz. RB-11 - Podpora liniowa**

Strukt.                    x =        18.95        18.95 m  
                              y =        -1.50        -4.76 m

Podpora                Ścisk./rozc.    Przem. w kierunku t = 1.67e+006 kN/m2  
                              (d = 0.20 m    h = 3.60 m    Mod E = 3.00e+007 kN/m2)

### **Poz. RB-12 - Podpora liniowa**

Strukt.                    x =        26.53        20.45 m  
                              y =        -1.50        -1.50 m

Podpora                Ścisk./rozc.    Przem. w kierunku t = 1.67e+006 kN/m2  
                              (d = 0.20 m    h = 3.60 m    Mod E = 3.00e+007 kN/m2)

Opis projektu:  
Pozycja:  
Data:  
Projektował:

**Bolesław płyta fundamentowa**  
**15.05.24**

**PlaTo 4.0**

Strona:

Model MES: **2419001**

Projekt: **PIYTY**

### **Poz. RB-13 - Podpora liniowa**

Strukt.                    x =     18.05    18.05 m  
                              y =     -6.58    -9.73 m

Podpora                Ścisk./rozc.    Przem. w kierunku t = 1.67e+006 kN/m2  
                              (d = 0.20 m    h = 3.60 m    Mod E = 3.00e+007 kN/m2)

### **Poz. RB-14 - Podpora liniowa**

Strukt.                    x =     19.05    18.26 m  
                              y =     -6.94    -6.94 m

Podpora                Ścisk./rozc.    Przem. w kierunku t = 1.67e+006 kN/m2  
                              (d = 0.20 m    h = 3.60 m    Mod E = 3.00e+007 kN/m2)

### **Poz. RB-15 - Podpora liniowa**

Strukt.                    x =     16.15    16.15 m  
                              y =     -9.73    -7.66 m

Podpora                Ścisk./rozc.    Przem. w kierunku t = 1.67e+006 kN/m2  
                              (d = 0.20 m    h = 3.60 m    Mod E = 3.00e+007 kN/m2)

### **Poz. RB-16 - Podpora liniowa**

Strukt.                    x =     16.49    17.80 m  
                              y =     -7.76    -7.76 m

Podpora                Ścisk./rozc.    Przem. w kierunku t = 1.67e+006 kN/m2  
                              (d = 0.20 m    h = 3.60 m    Mod E = 3.00e+007 kN/m2)

### **Poz. RB-17 - Podpora liniowa**

Strukt.                    x =     23.50    23.50 m  
                              y =     -6.44    -9.77 m

Podpora                Ścisk./rozc.    Przem. w kierunku t = 1.67e+006 kN/m2  
                              (d = 0.20 m    h = 3.60 m    Mod E = 3.00e+007 kN/m2)

### **Poz. RB-18 - Podpora liniowa**

Strukt.                    x =     28.48    18.85 m  
                              y =     -4.98    -4.98 m

Podpora                Ścisk./rozc.    Przem. w kierunku t = 1.67e+006 kN/m2  
                              (d = 0.20 m    h = 3.60 m    Mod E = 3.00e+007 kN/m2)

### **Poz. RB-19 - Podpora liniowa**

Strukt.                    x =     23.50    23.50 m  
                              y =     -5.19    -5.44 m

Podpora                Ścisk./rozc.    Przem. w kierunku t = 1.67e+006 kN/m2  
                              (d = 0.20 m    h = 3.60 m    Mod E = 3.00e+007 kN/m2)

### **Poz. RB-20 - Podpora liniowa**

Strukt.                    x =     28.62    28.62 m  
                              y =     -0.20    -3.35 m

Podpora                Ścisk./rozc.    Przem. w kierunku t = 1.67e+006 kN/m2  
                              (d = 0.20 m    h = 3.60 m    Mod E = 3.00e+007 kN/m2)

Opis projektu:	Bolesław płyta fundamentowa		Strona:
Pozycja:	15.05.24		Model MES: 2419001
Data:	PlaTo 4.0		Projekt: PIYTY
Projektował:			

### **Poz. RB-21 - Podpora liniowa**

Strukt.                    x =     28.62    28.62 m  
                                  y =     -4.35    -5.44 m

Podpora                Ścisk./rozc. Przem. w kierunku t = 1.67e+006 kN/m2  
                                  (d = 0.20 m    h = 3.60 m    Mod E = 3.00e+007 kN/m2)

### **Poz. RB-22 - Podpora liniowa**

Strukt.                    x =     28.62    28.62 m  
                                  y =     -6.44    -9.74 m

Podpora                Ścisk./rozc. Przem. w kierunku t = 1.67e+006 kN/m2  
                                  (d = 0.20 m    h = 3.60 m    Mod E = 3.00e+007 kN/m2)

Opis projektu:  
Pozycja:  
Data:  
Projektował:

**Bolesław płyta fundamentowa**  
**15.05.24**

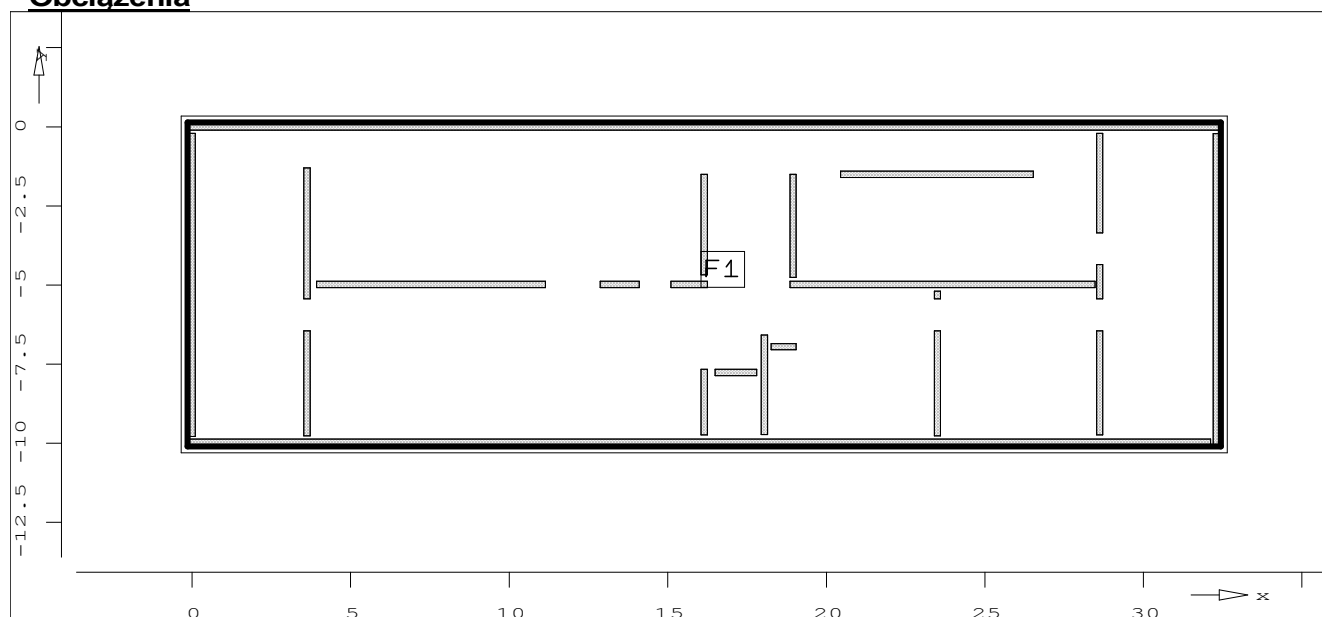
**PlaTo 4.0**

Strona:

Model MES: **2419001**

Projekt: **PIYTY**

## Obciążenia



## Stałe i zmienne obciążenia pozycji

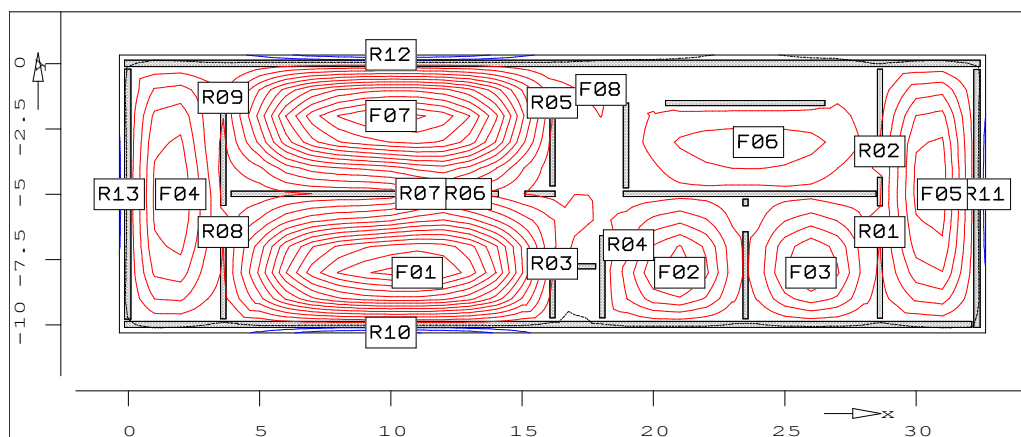
PL-1	Grubość	=	30.0	cm	
	g (z gęst.)	=	-7.50	kN/m2	obc. stałe
	(dodatk.)	=	0.00	kN/m2	obc. stałe
	p	=	0.00	kN/m2	obc. zmienne

## Obc. powierzchniowe

Lokalny kier. obc.

Obc. powierz. F1x = -0.14 32.44 32.44 -0.14 m  
y = -10.10 -10.10 0.14 0.14 m  
LF 1 POOB-1 (obc. stałe)  
pt -50.00 -50.00 -50.00 -50.00 kN/m2

## Poz. PL-1 - Przemiesz. płyty



Przemiesz.

dla kombinacji obc. LKN = 1  
 Wartość progowa = 0.20 mm  
 Skok izolinii krok = 0.20 mm

Punkt	X	Y	max  uz
		[m]	[mm]
F01	11.00	-8.00	-2.88
F02	21.00	-8.00	-1.14
F03	26.00	-8.00	-1.04
F04	2.00	-5.00	-0.96
F05	31.00	-5.00	-1.10
F06	24.00	-3.00	-0.55
F07	10.00	-2.00	-2.85
F08	18.00	-1.00	-0.21
R01	28.62	-6.44	-0.21
R02	28.62	-3.35	-0.22
R03	16.15	-7.66	-0.27
R04	19.05	-6.94	-0.32
R05	16.15	-1.50	-0.26
R06	12.86	-4.98	-0.49
R07	11.14	-4.98	-0.49
R08	3.62	-6.44	-0.20
R09	3.62	-1.30	-0.26
R10	10.00	-10.30	0.61
R11	32.64	-5.00	0.29
R12	10.00	0.34	0.60
R13	-0.34	-5.00	0.25

Opis projektu:  
Pozycja:  
Data:  
Projektował:

**Bolesław płyta fundamentowa**  
**15.05.24**

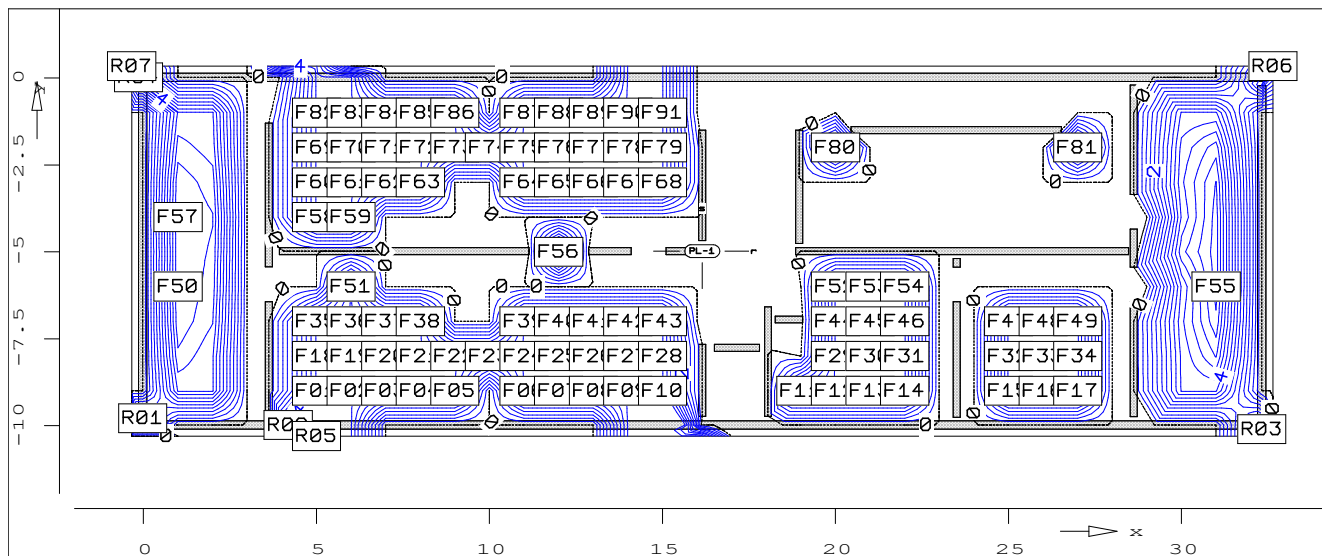
**PlaTo 4.0**

Strona:

Model MES: **2419001**

Projekt: **PIITY**

### **Poz. PL-1 - Zbrojenie dołem asr [cm2/m]**



#### Wymiarowanie

dla obwiedni MIN/MAX przez Lfn i Lkn  
wymiarowanie wg. PN-2002/B-03264  
Beton B25  $f_{cd} = 13.3 \text{ MPa}$   
Stal AIIIIN  $f_{yd} = 420.0 \text{ MPa}$   
Grubość stała  $d = 30.00 \text{ cm}$

		ro	so	ru	su
Otulina zbroj.	$h'$	3.0	3.0	3.0	3.0 cm
Kąt ułożenia zbrojenia	$w$	=	0.00	stop	
Skok izolinii	krok	=	0.40	cm2/m	

#### Zbrojenie

Punkt	X	Y	mx	my	mxy	asru	assu
		[m]			[kNm/m]		[cm2/m]
F01	5.00	-9.00	12.31	31.73	-24.74	4.0	5.2
F02	6.00	-9.00	22.55	53.04	-18.51	4.0	6.6
F03	7.00	-9.00	22.38	65.71	-11.93	4.0	7.2
F04	8.00	-9.00	20.69	73.24	-6.84	4.0	7.4
F05	9.00	-9.00	19.30	77.27	-3.71	4.0	7.5
F06	11.00	-9.00	20.15	77.13	1.18	4.0	7.3
F07	12.00	-9.00	21.92	73.22	5.30	4.0	7.3
F08	13.00	-9.00	23.73	65.62	11.46	4.0	7.1
F09	14.00	-9.00	24.90	53.27	18.98	4.0	6.7
F10	15.00	-9.00	14.71	24.58	27.83	4.0	4.8
F11	19.00	-9.00	10.06	21.26	-16.23	4.0	4.0
F12	20.00	-9.00	23.33	37.53	-9.70	4.0	4.3
F13	21.00	-9.00	27.33	36.80	1.81	4.0	4.0
F14	22.00	-9.00	21.10	27.59	12.72	4.0	4.0
F15	25.00	-9.00	21.29	26.09	-11.56	4.0	4.0
F16	26.00	-9.00	28.16	33.21	-0.54	4.0	4.0
F17	27.00	-9.00	22.55	27.96	10.89	4.0	4.0
F18	5.00	-8.00	19.28	36.83	-4.44	4.0	4.0
F19	6.00	-8.00	30.58	66.75	-3.86	4.0	6.5
F20	7.00	-8.00	31.61	85.09	-2.00	4.0	8.1
F21	8.00	-8.00	28.01	95.93	-0.95	4.0	9.1
F22	9.00	-8.00	25.14	101.42	-1.09	4.0	9.7
F23	10.00	-8.00	24.99	102.90	-1.73	4.0	9.9
F24	11.00	-8.00	27.41	101.32	-1.58	4.0	9.7
F25	12.00	-8.00	31.11	96.52	-0.07	4.0	9.1
F26	13.00	-8.00	34.04	86.90	1.84	4.0	8.3
F27	14.00	-8.00	33.55	68.89	3.71	4.0	6.7
F28	15.00	-8.00	24.54	37.55	3.55	4.0	4.0
F29	20.00	-8.00	30.79	37.45	-6.41	4.0	4.0

Opis projektu:  
Pozycja:  
Data:  
Projektował:

**Bolesław płyta fundamentowa**  
**15.05.24**

**PlaTo 4.0**

Strona:

Model MES: **2419001**

Projekt: **PIYTY**

Punkt	X	Y	mx	my	mxy	asru	assu
		[m]			[ kNm/m ]		[ cm2/m ]
F30	21.00	-8.00	43.02	42.84	-0.94	<b>4.0</b>	4.0
F31	22.00	-8.00	28.85	30.46	2.82	<b>4.0</b>	4.0
F32	25.00	-8.00	28.96	28.73	-2.80	<b>4.0</b>	4.0
F33	26.00	-8.00	42.18	39.43	0.09	<b>4.0</b>	4.0
F34	27.00	-8.00	30.47	31.03	2.91	<b>4.0</b>	4.0
F35	5.00	-7.00	11.76	26.02	14.36	<b>4.0</b>	4.0
F36	6.00	-7.00	26.18	47.68	11.31	<b>4.0</b>	5.4
F37	7.00	-7.00	25.57	60.77	7.85	<b>4.0</b>	6.3
F38	8.00	-7.00	20.68	67.60	4.84	<b>4.0</b>	6.7
F39	11.00	-7.00	21.55	70.90	-4.53	<b>4.0</b>	7.0
F40	12.00	-7.00	25.59	69.39	-4.54	<b>4.0</b>	6.8
F41	13.00	-7.00	29.14	63.89	-5.94	<b>4.0</b>	6.4
F42	14.00	-7.00	26.55	54.61	-11.25	<b>4.0</b>	6.1
F43	15.00	-7.00	11.59	36.70	-18.88	<b>4.0</b>	5.1
F44	20.00	-7.00	35.81	19.33	5.30	<b>4.0</b>	4.0
F45	21.00	-7.00	39.52	34.01	-1.48	<b>4.0</b>	4.0
F46	22.00	-7.00	25.70	25.27	-7.09	<b>4.0</b>	4.0
F47	25.00	-7.00	25.63	24.16	6.45	<b>4.0</b>	4.0
F48	26.00	-7.00	38.37	32.47	0.51	<b>4.0</b>	4.0
F49	27.00	-7.00	26.72	24.62	-5.78	<b>4.0</b>	4.0
F50	1.00	-6.00	54.98	14.32	-1.72	<b>5.2</b>	0.0
F51	6.00	-6.00	8.75	-5.25	15.49	<b>4.0</b>	0.0
F52	20.00	-6.00	9.92	9.04	12.09	<b>4.0</b>	4.0
F53	21.00	-6.00	20.46	7.64	-0.91	<b>4.0</b>	0.0
F54	22.00	-6.00	10.68	4.96	-11.24	<b>4.0</b>	0.0
F55	31.00	-6.00	65.32	15.50	1.96	<b>6.2</b>	0.0
F56	12.00	-5.00	54.93	-109.82	0.82	<b>5.0</b>	0.0
F57	1.00	-4.00	55.23	13.06	1.89	<b>5.2</b>	0.0
F58	5.00	-4.00	3.22	-9.44	-18.97	<b>4.0</b>	0.0
F59	6.00	-4.00	8.37	-9.57	-15.86	<b>4.0</b>	0.0
F60	5.00	-3.00	11.16	22.35	-13.38	<b>4.0</b>	4.0
F61	6.00	-3.00	26.30	44.86	-11.03	<b>4.0</b>	5.1
F62	7.00	-3.00	25.39	58.42	-7.82	<b>4.0</b>	6.1
F63	8.00	-3.00	20.35	65.03	-4.81	<b>4.0</b>	6.4
F64	11.00	-3.00	21.58	67.10	4.86	<b>4.0</b>	6.6
F65	12.00	-3.00	25.87	64.51	4.79	<b>4.0</b>	6.4
F66	13.00	-3.00	29.25	57.28	5.78	<b>4.0</b>	5.8
F67	14.00	-3.00	25.54	45.10	9.67	<b>4.0</b>	5.0
F68	15.00	-3.00	8.03	21.17	13.75	<b>4.0</b>	4.0
F69	5.00	-2.00	19.25	38.50	4.90	<b>4.0</b>	4.0
F70	6.00	-2.00	30.76	67.07	4.12	<b>4.0</b>	6.6
F71	7.00	-2.00	31.71	85.16	1.91	<b>4.0</b>	8.1
F72	8.00	-2.00	28.14	95.64	0.75	<b>4.0</b>	9.1
F73	9.00	-2.00	25.28	100.87	0.89	<b>4.0</b>	9.6
F74	10.00	-2.00	25.22	101.98	1.54	<b>4.0</b>	9.8
F75	11.00	-2.00	27.83	99.86	1.30	<b>4.0</b>	9.5
F76	12.00	-2.00	31.57	94.39	-0.47	<b>4.0</b>	8.9
F77	13.00	-2.00	33.76	84.02	-3.12	<b>4.0</b>	8.1
F78	14.00	-2.00	31.01	66.18	-5.77	<b>4.0</b>	6.6
F79	15.00	-2.00	16.51	34.57	-6.68	<b>4.0</b>	4.0
F80	20.00	-2.00	14.36	3.03	11.62	<b>4.0</b>	0.0
F81	27.00	-2.00	17.79	6.56	-9.07	<b>4.0</b>	0.0
F82	5.00	-1.00	13.11	41.88	22.48	<b>4.0</b>	5.9
F83	6.00	-1.00	22.10	56.70	17.91	<b>4.0</b>	6.9
F84	7.00	-1.00	23.01	68.23	11.41	<b>4.0</b>	7.4
F85	8.00	-1.00	21.31	75.43	6.43	<b>4.0</b>	7.6
F86	9.00	-1.00	19.94	79.23	3.29	<b>4.0</b>	7.7
F87	11.00	-1.00	20.90	78.61	-1.83	<b>4.0</b>	7.5
F88	12.00	-1.00	22.61	74.49	-6.15	<b>4.0</b>	7.5
F89	13.00	-1.00	23.98	67.29	-12.32	<b>4.0</b>	7.4
F90	14.00	-1.00	22.51	55.89	-19.26	<b>4.0</b>	7.0
F91	15.00	-1.00	6.93	40.00	-24.65	<b>4.0</b>	5.9



Punkt	X	Y	mx	my	mxy	asru	assu
		[m]			[kNm/m]		[cm <sup>2</sup> /m]
R01	-0.02	-9.79	11.96	15.38	-16.95	<b>4.0</b>	4.0
R02	4.18	-9.98	-0.65	18.69	-25.59	<b>4.0</b>	4.0
R03	32.32	-10.10	17.70	9.97	12.70	<b>4.0</b>	4.0
R04	-0.14	0.02	13.68	13.08	15.38	<b>4.0</b>	4.0
R05	5.00	-10.30	5.55	1.99	-24.98	<b>4.0</b>	4.0
R06	32.64	0.34	7.09	7.01	-21.10	<b>4.0</b>	4.0
R07	-0.34	0.34	4.82	6.34	17.73	<b>4.0</b>	4.0

Opis projektu:  
Pozycja:  
Data:  
Projektował:

**Bolesław płyta fundamentowa**  
**15.05.24**

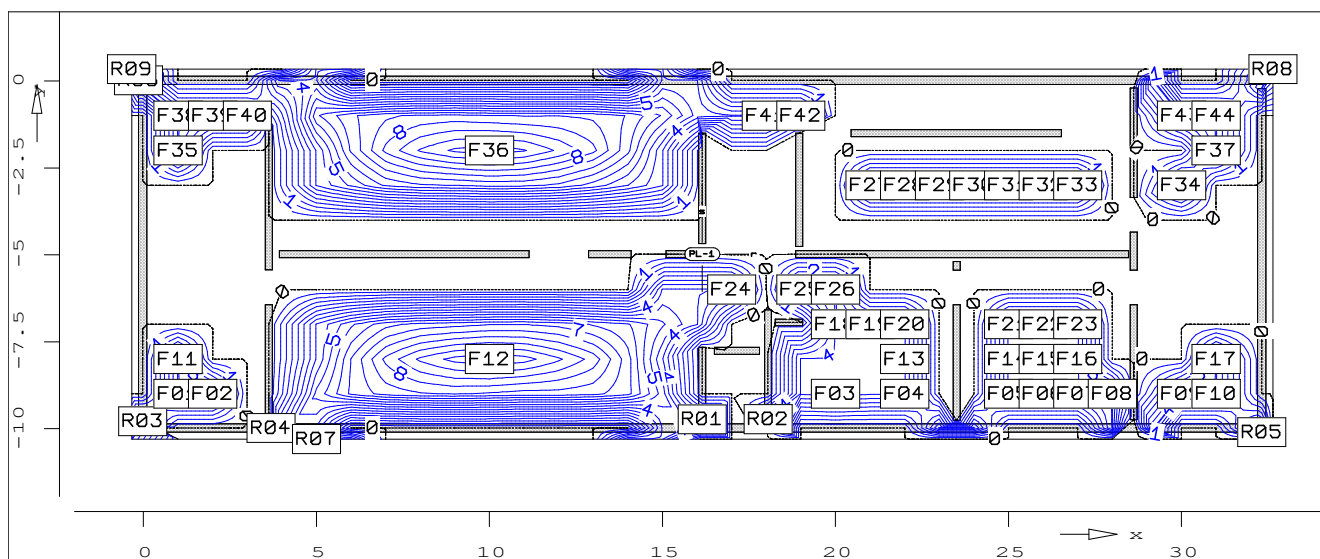
**PlaTo 4.0**

Strona:

Model MES: **2419001**

Projekt: **PIITY**

### **Poz. PL-1 - Zbrojenie dołem ass [cm2/m]**



#### Wymiarowanie

dla obwiedni MIN/MAX przez Lfn i Lkn  
wymiarowanie wg. PN-2002/B-03264  
Beton B25  $f_{cd} = 13.3 \text{ MPa}$   
Stal AIIIIN  $f_{yd} = 420.0 \text{ MPa}$   
Grubość stała  $d = 30.00 \text{ cm}$

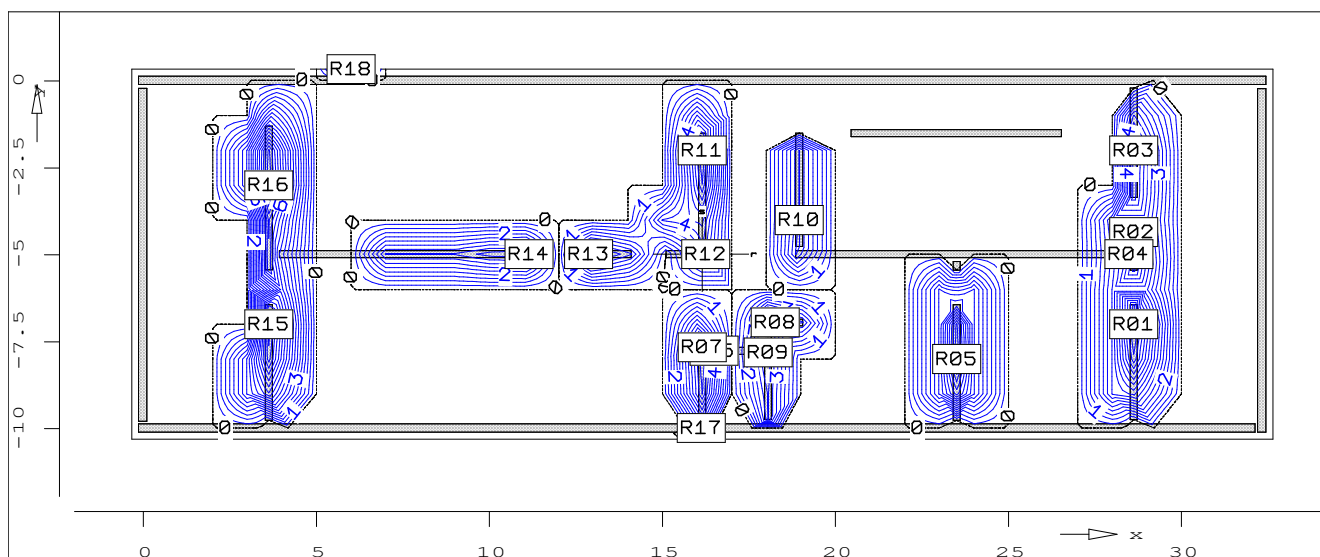
ro so ru su  
Otulina zbroj.  $h'$  3.0 3.0 3.0 3.0 cm  
Kąt ułożenia zbrojenia  $w = 0.00$  stop  
Skok izolinii  $\text{krok} = 0.50 \text{ cm}^2/\text{m}$

#### Zbrojenie

Punkt	X	Y	mx	my	mxy	asru	assu
		[m]			[kNm/m]		[cm2/m]
F01	1.00	-9.00	30.66	18.73	-9.13	4.0	4.0
F02	2.00	-9.00	26.44	18.62	5.31	4.0	4.0
F03	20.00	-9.00	23.33	37.53	-9.70	4.0	4.3
F04	22.00	-9.00	21.10	27.59	12.72	4.0	4.0
F05	25.00	-9.00	21.29	26.09	-11.56	4.0	4.0
F06	26.00	-9.00	28.16	33.21	-0.54	4.0	4.0
F07	27.00	-9.00	22.55	27.96	10.89	4.0	4.0
F08	28.00	-9.00	-7.84	7.84	13.93	0.0	4.0
F09	30.00	-9.00	20.07	16.18	-10.94	4.0	4.0
F10	31.00	-9.00	34.09	21.17	6.65	4.0	4.0
F11	1.00	-8.00	45.69	16.12	-5.96	4.7	4.0
F12	10.00	-8.00	24.99	102.90	-1.73	4.0	9.9
F13	22.00	-8.00	28.85	30.46	2.82	4.0	4.0
F14	25.00	-8.00	28.96	28.73	-2.80	4.0	4.0
F15	26.00	-8.00	42.18	39.43	0.09	4.0	4.0
F16	27.00	-8.00	30.47	31.03	2.91	4.0	4.0
F17	31.00	-8.00	52.83	19.60	4.43	5.2	4.0
F18	20.00	-7.00	35.81	19.33	5.30	4.0	4.0
F19	21.00	-7.00	39.52	34.01	-1.48	4.0	4.0
F20	22.00	-7.00	25.70	25.27	-7.09	4.0	4.0
F21	25.00	-7.00	25.63	24.16	6.45	4.0	4.0
F22	26.00	-7.00	38.37	32.47	0.51	4.0	4.0
F23	27.00	-7.00	26.72	24.62	-5.78	4.0	4.0
F24	17.00	-6.00	4.27	18.82	-11.21	0.0	4.0
F25	19.00	-6.00	-7.22	15.72	14.09	0.0	4.0
F26	20.00	-6.00	9.92	9.04	12.09	4.0	4.0
F27	21.00	-3.00	12.47	31.61	2.28	0.0	4.0
F28	22.00	-3.00	10.31	37.74	1.40	0.0	4.0
F29	23.00	-3.00	9.64	39.29	0.51	0.0	4.0

Punkt	X	Y	mx	my	mxy	asru	assu
		[m]			[ kNm/m ]		[ cm2/m ]
F30	24.00	-3.00	9.48	39.56	-0.31	0.0	<b>4.0</b>
F31	25.00	-3.00	9.86	38.64	-1.36	0.0	<b>4.0</b>
F32	26.00	-3.00	12.12	34.25	-2.62	0.0	<b>4.0</b>
F33	27.00	-3.00	11.33	21.94	-2.46	0.0	<b>4.0</b>
F34	30.00	-3.00	47.46	18.88	4.34	4.7	<b>4.0</b>
F35	1.00	-2.00	45.36	16.59	4.95	4.6	<b>4.0</b>
F36	10.00	-2.00	25.22	101.98	1.54	4.0	<b>9.8</b>
F37	31.00	-2.00	54.19	21.97	-4.95	5.4	<b>4.0</b>
F38	1.00	-1.00	28.15	19.18	12.03	4.0	<b>4.0</b>
F39	2.00	-1.00	24.68	22.72	-5.31	4.0	<b>4.0</b>
F40	3.00	-1.00	-9.39	18.23	-13.89	0.0	<b>4.0</b>
F41	18.00	-1.00	11.63	22.16	-3.41	0.0	<b>4.0</b>
F42	19.00	-1.00	-0.06	20.90	0.32	0.0	<b>4.0</b>
F43	30.00	-1.00	23.81	17.54	11.16	4.0	<b>4.0</b>
F44	31.00	-1.00	35.75	22.67	-7.93	4.0	<b>4.0</b>
R01	16.15	-9.73	-16.59	13.90	19.66	0.0	<b>4.0</b>
R02	18.05	-9.73	-9.99	10.62	-12.99	0.0	<b>4.0</b>
R03	-0.02	-9.79	11.96	15.38	-16.95	4.0	<b>4.0</b>
R04	3.69	-9.98	-7.37	13.02	-11.02	0.0	<b>4.0</b>
R05	32.32	-10.10	17.70	9.97	12.70	4.0	<b>4.0</b>
R06	-0.14	0.02	13.68	13.08	15.38	4.0	<b>4.0</b>
R07	5.00	-10.30	5.55	1.99	-24.98	4.0	<b>4.0</b>
R08	32.64	0.34	7.09	7.01	-21.10	4.0	<b>4.0</b>
R09	-0.34	0.34	4.82	6.34	17.73	4.0	<b>4.0</b>

## Poz. PL-1 - zbrojenie góra asr [cm<sup>2</sup>/m]



### Wymiarowanie

dla obwiedni MIN/MAX przez Lfn i Lkn  
 wymiarowanie wg. PN-2002/B-03264  
 Beton B25  $f_{cd} = 13.3 \text{ MPa}$   
 Stal AIIIIN  $f_{yd} = 420.0 \text{ MPa}$   
 Grubość stała  $d = 30.00 \text{ cm}$

ro so ru su  
 Otulina zbroj.  $h' = 3.0 \text{ cm}$   
 Kąt ułożenia zbrojenia  $w = 0.00 \text{ stop}$   
 Skok izolinii  $\text{krok} = 0.50 \text{ cm}^2/\text{m}$

### Zbrojenie

Punkt	X	Y	mx	my	mxy	asro	asso
		[m]			[kNm/m]		[cm <sup>2</sup> /m]
R01	28.62	-7.00	-84.35	-15.12	-9.49	8.8	4.0
R02	28.62	-4.35	-77.91	-41.15	2.15	7.4	4.0
R03	28.62	-2.00	-64.64	-19.44	4.37	6.4	4.0
R04	28.48	-4.98	-57.29	-24.83	2.09	5.4	4.0
R05	23.50	-8.00	-90.25	-16.00	0.11	8.5	0.0
R06	16.49	-7.76	-49.44	-23.83	1.51	4.6	4.0
R07	16.15	-7.66	-75.53	-40.51	-0.34	7.0	4.0
R08	18.26	-6.94	-32.89	-21.84	15.97	4.4	4.0
R09	18.05	-7.81	-40.44	-11.75	7.56	4.4	0.0
R10	18.95	-4.00	-21.88	-2.83	-3.16	4.0	0.0
R11	16.15	-2.00	-79.94	-22.07	1.46	7.6	4.0
R12	16.25	-4.98	-24.80	-29.83	-5.92	4.0	4.0
R13	12.86	-4.98	-61.71	-160.86	1.35	5.8	16.1
R14	11.14	-4.98	-53.27	-173.55	0.67	4.9	17.5
R15	3.62	-7.00	-89.52	-16.67	10.34	9.4	4.0
R16	3.62	-3.00	-89.89	-17.10	-10.38	9.5	4.0
R17	16.12	-9.98	-3.27	13.56	20.47	4.0	0.0
R18	6.00	0.34	-1.71	-0.06	22.26	4.0	0.0

Opis projektu:  
Pozycja:  
Data:  
Projektował:

**Bolesław płyta fundamentowa**  
**15.05.24**

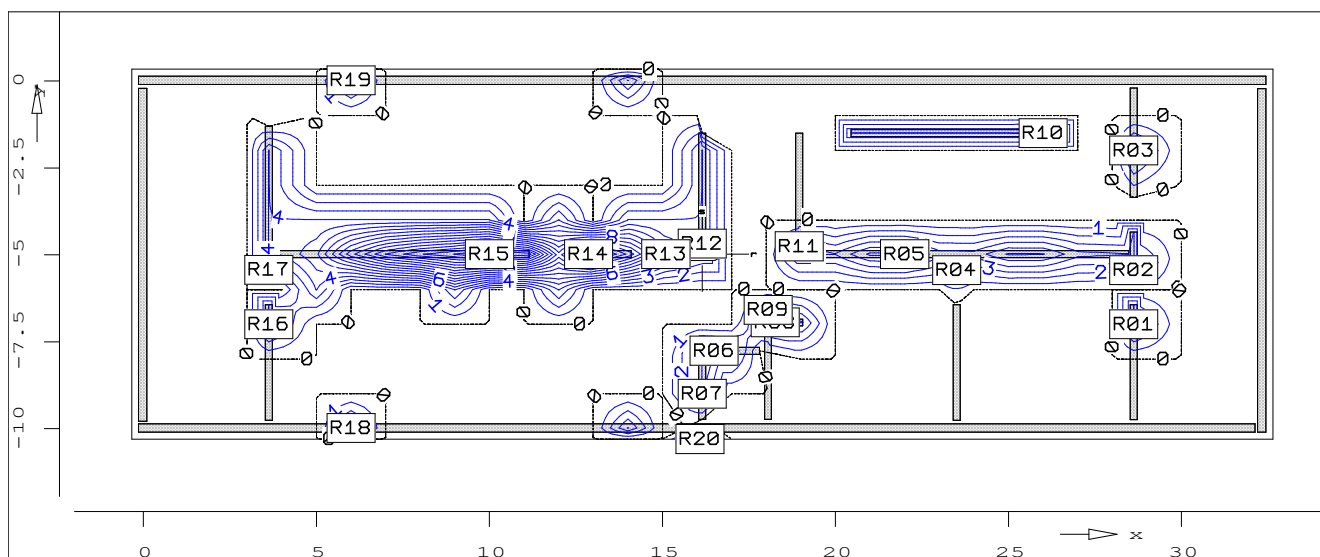
**PlaTo 4.0**

Strona:

Model MES: **2419001**

Projekt: **PIYTY**

### **Poz. PL-1 - zbrojenie górą ass [cm2/m]**



#### Wymiarowanie

dla obwiedni MIN/MAX przez Lfn i Lkn  
wymiarowanie wg. PN-2002/B-03264  
Beton B25  $f_{cd} = 13.3 \text{ MPa}$   
Stal AIIIIN  $f_{yd} = 420.0 \text{ MPa}$   
Grubość stała  $d = 30.00 \text{ cm}$

		ro	so	ru	su
Otulina zbroj.	$h'$	3.0	3.0	3.0	3.0 cm
Kąt ułożenia zbrojenia w		=	0.00	stop	
Skok izolinii	krok	=	1.00	cm2/m	

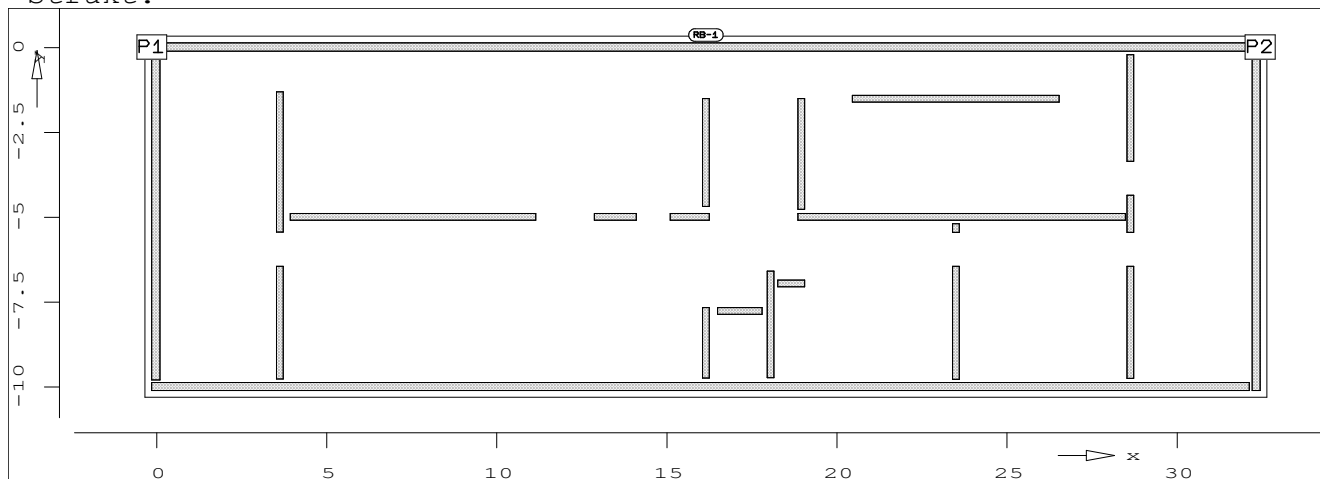
#### Zbrojenie

Punkt	X	Y	mx	my	mxy	asro	asso
		[m]			[kNm/m]		[cm2/m]
R01	28.62	-7.00	-84.35	-15.12	-9.49	8.8	<b>4.0</b>
R02	28.62	-5.44	-58.70	-11.23	-13.53	6.7	<b>4.0</b>
R03	28.62	-2.00	-64.64	-19.44	4.37	6.4	<b>4.0</b>
R04	23.50	-5.44	-17.01	-25.77	-0.46	0.0	<b>4.0</b>
R05	22.00	-4.98	-10.41	-60.53	-7.52	0.0	<b>6.3</b>
R06	16.49	-7.76	-49.44	-23.83	1.51	4.6	<b>4.0</b>
R07	16.15	-9.00	-55.05	-12.01	15.57	6.5	<b>4.0</b>
R08	18.26	-6.94	-32.89	-21.84	15.97	4.4	<b>4.0</b>
R09	18.05	-6.58	-28.00	-14.52	6.75	4.0	<b>4.0</b>
R10	26.00	-1.50	-15.81	-43.04	-2.85	0.0	<b>4.2</b>
R11	18.95	-4.76	-19.17	-24.25	-4.39	4.0	<b>4.0</b>
R12	16.15	-4.68	-27.80	-27.83	1.69	4.0	<b>4.0</b>
R13	15.10	-4.98	-13.66	-61.94	4.18	0.0	<b>6.1</b>
R14	12.86	-4.98	-61.71	-160.86	1.35	5.8	<b>16.1</b>
R15	10.00	-4.98	-52.07	-183.84	0.33	4.8	<b>18.6</b>
R16	3.62	-7.00	-89.52	-16.67	10.34	9.4	<b>4.0</b>
R17	3.62	-5.43	-64.85	-26.48	9.39	6.9	<b>4.0</b>
R18	6.00	-9.98	-0.59	-4.15	-24.16	0.0	<b>4.0</b>
R19	6.00	0.02	0.76	-2.15	22.37	0.0	<b>4.0</b>
R20	16.08	-10.30	2.93	-6.76	19.32	0.0	<b>4.0</b>

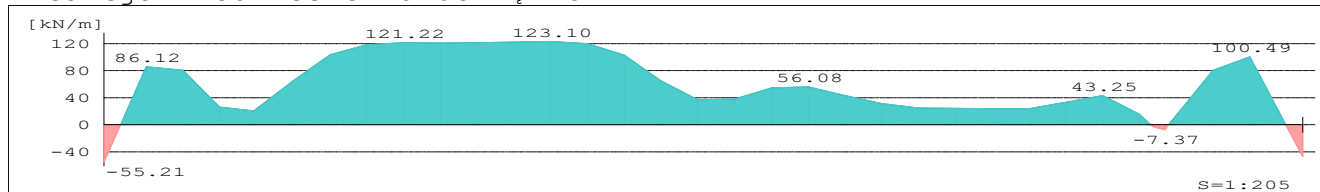
## Poz. RB-1 - Reakcja podporowa At

$X_p = -0.14 \text{ m}$     $X_k = 32.44 \text{ m}$     $Y_p = 0.02 \text{ m}$     $Y_k = 0.02 \text{ m}$   
 Sztywn. przy prze =  $2.00 \times 10^6 \text{ kN/m}^2$   
 Wyniki dla obwiedni MIN/MAX (LFN, LKN)

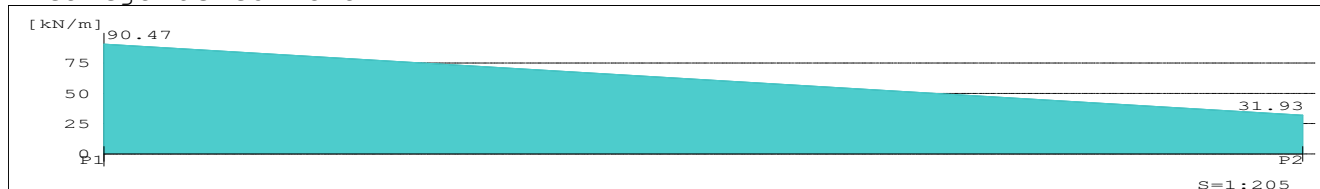
Strukt.



Reakcja w odniesieniu do węzłów



Reakcja uśredniona

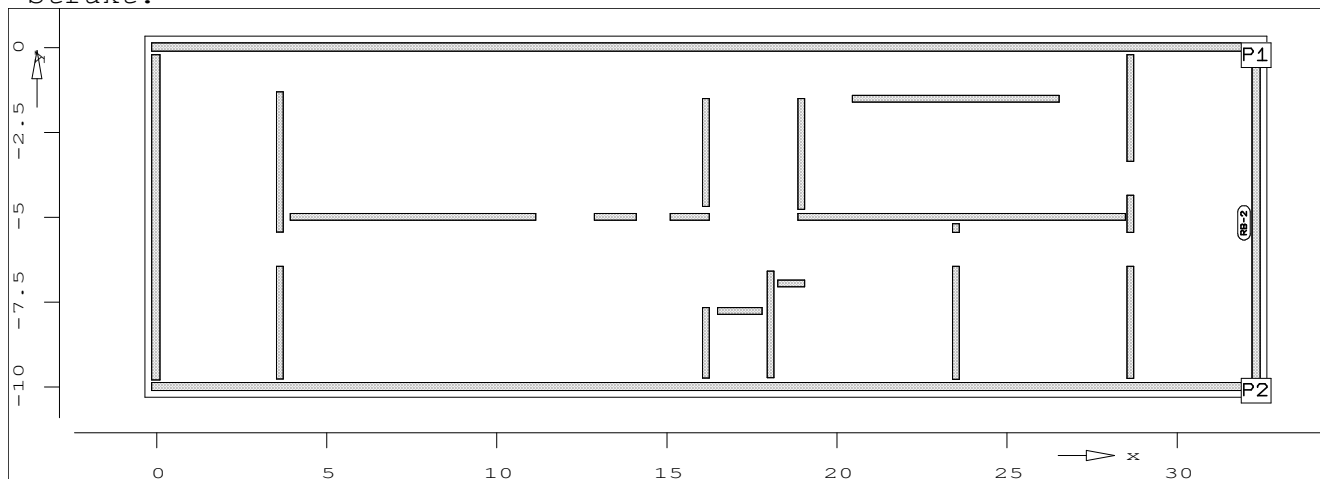


	P1	Środ.	P2
min At	90.47	61.20	31.93
max At	90.47	61.20	31.93

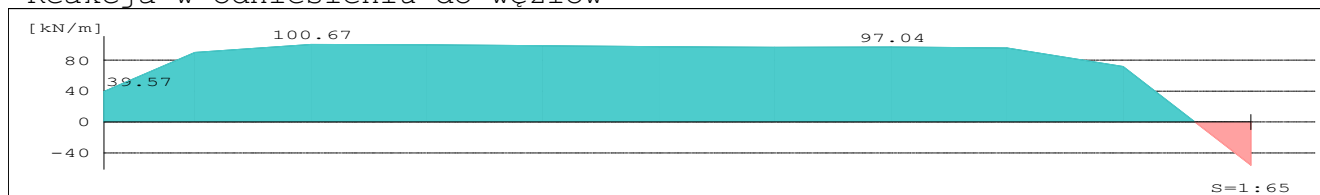
## Poz. RB-2 - Reakcja podporowa At

$X_p = 32.32 \text{ m}$     $X_k = 32.32 \text{ m}$     $Y_p = -0.22 \text{ m}$     $Y_k = -10.10 \text{ m}$   
 Sztywn. przy prze =  $2.00 \times 10^6 \text{ kN/m}^2$   
 Wyniki dla obwiedni MIN/MAX (LFN, LKN)

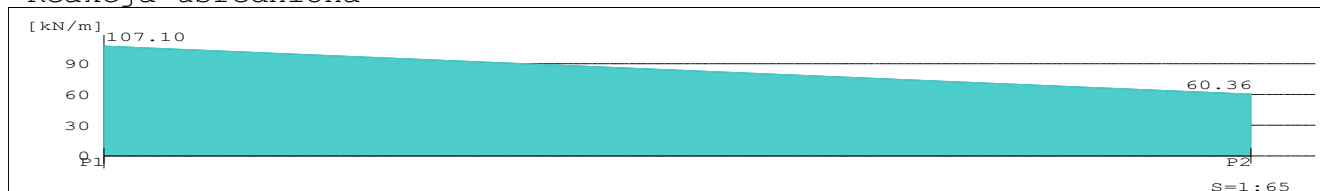
Strukt.



Reakcja w odniesieniu do węzłów



Reakcja uśredniona



	P1	Środ.	P2
min At	107.10	83.73	60.36
max At	107.10	83.73	60.36

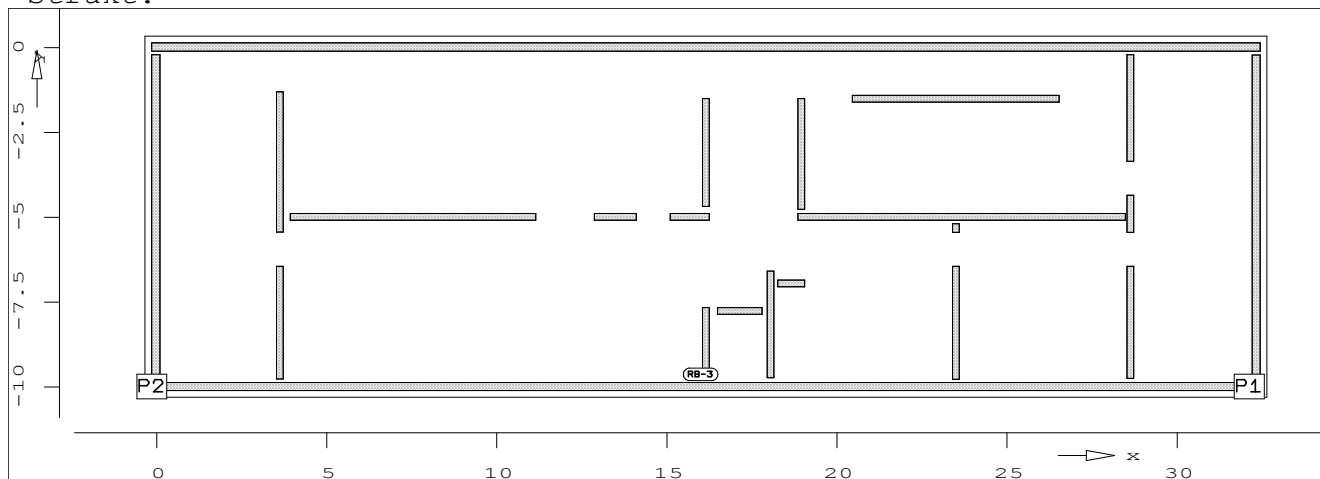
## Poz. RB-3 - Reakcja podporowa At

$X_p = 32.12 \text{ m}$     $X_k = -0.14 \text{ m}$     $Y_p = -9.98 \text{ m}$     $Y_k = -9.98 \text{ m}$

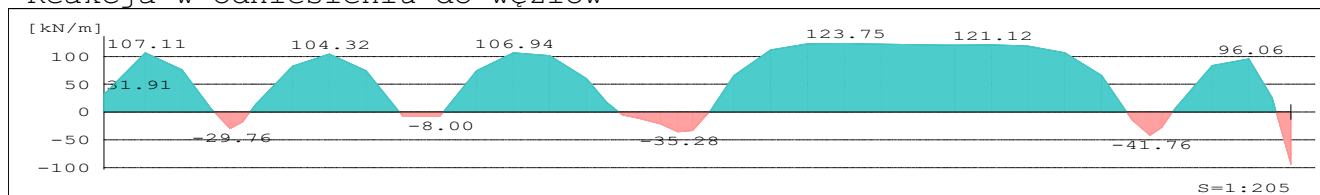
Sztywn. przy prze =  $2.00\text{e}+006 \text{ kN/m}^2$

Wyniki dla obwiedni MIN/MAX (LFN, LKN)

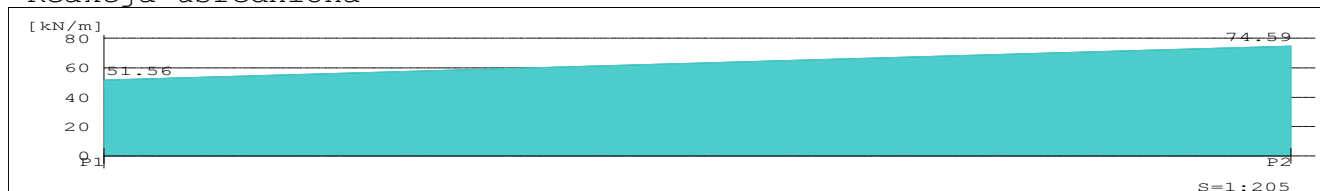
Strukt.



Reakcja w odniesieniu do węzłów



Reakcja uśredniona



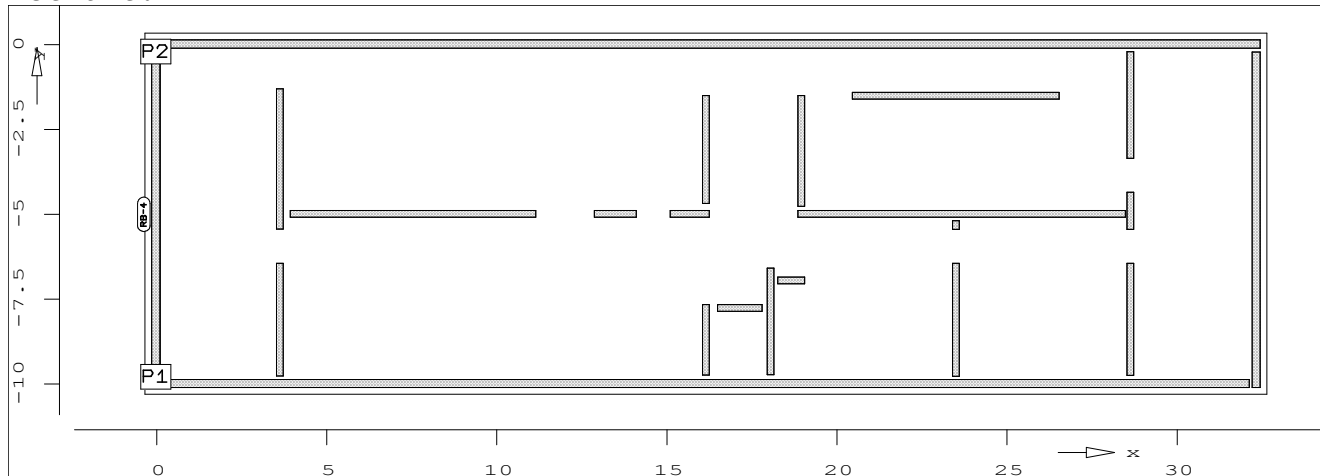
	P1	Środ.	P2
min At	51.56	63.07	74.59
max At	51.56	63.07	74.59



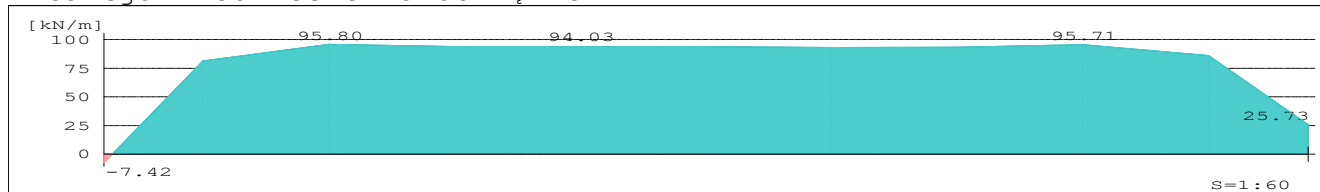
## Poz. RB-4 - Reakcja podporowa At

$X_p = -0.02 \text{ m}$     $X_k = -0.02 \text{ m}$     $Y_p = -9.79 \text{ m}$     $Y_k = -0.21 \text{ m}$   
 Sztywn. przy prze =  $2.00 \times 10^6 \text{ kN/m}^2$   
 Wyniki dla obwiedni MIN/MAX (LFN, LKN)

Strukt.



Reakcja w odniesieniu do węzłów



Reakcja uśredniona

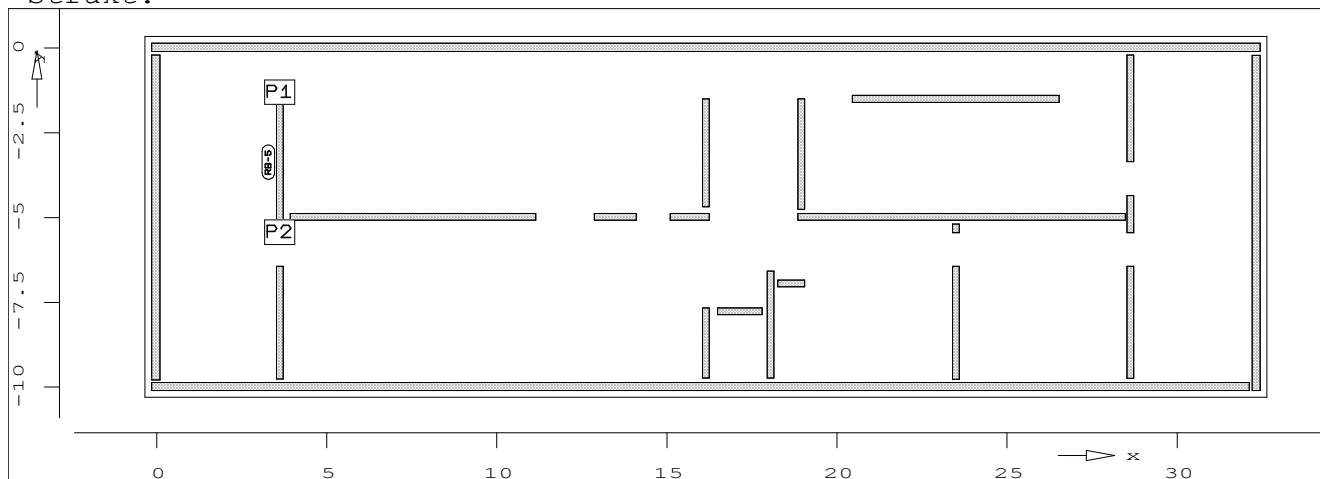


	P1	Środ.	P2
min At	80.61	85.32	90.03
max At	80.61	85.32	90.03

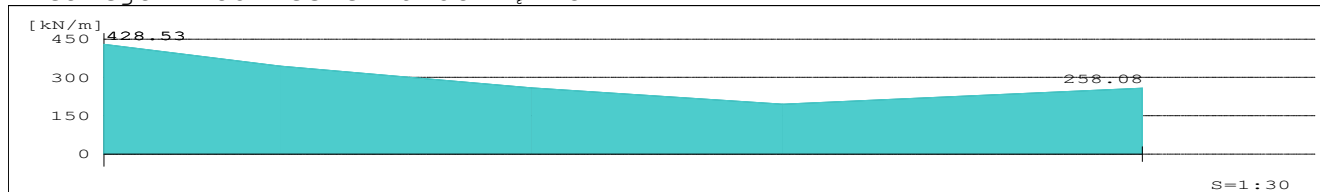
## Poz. RB-5 - Reakcja podporowa At

$X_p = 3.62 \text{ m}$     $X_k = 3.62 \text{ m}$     $Y_p = -1.30 \text{ m}$     $Y_k = -5.43 \text{ m}$   
 Sztywn. przy prze =  $1.67 \times 10^6 \text{ kN/m}^2$   
 Wyniki dla obwiedni MIN/MAX (LFN, LKN)

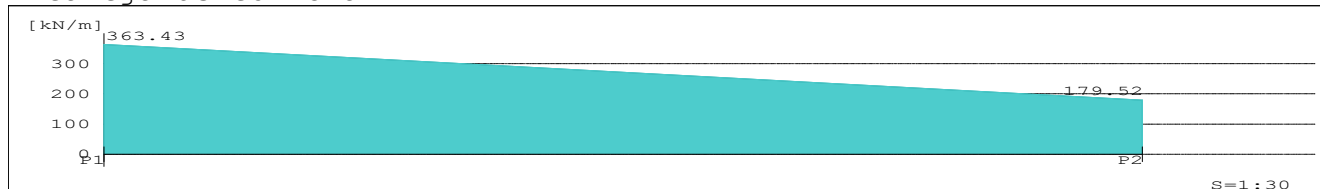
Strukt.



Reakcja w odniesieniu do węzłów



Reakcja uśredniona



	P1	Środ.	P2
min At	363.43	271.48	179.52
max At	363.43	271.48	179.52

Opis projektu:  
Pozycja:  
Data:  
Projektował:

**Bolesław płyta fundamentowa**  
**15.05.24**

**PlaTo 4.0**

Strona:

Model MES: **2419001**

Projekt: **PIYTY**

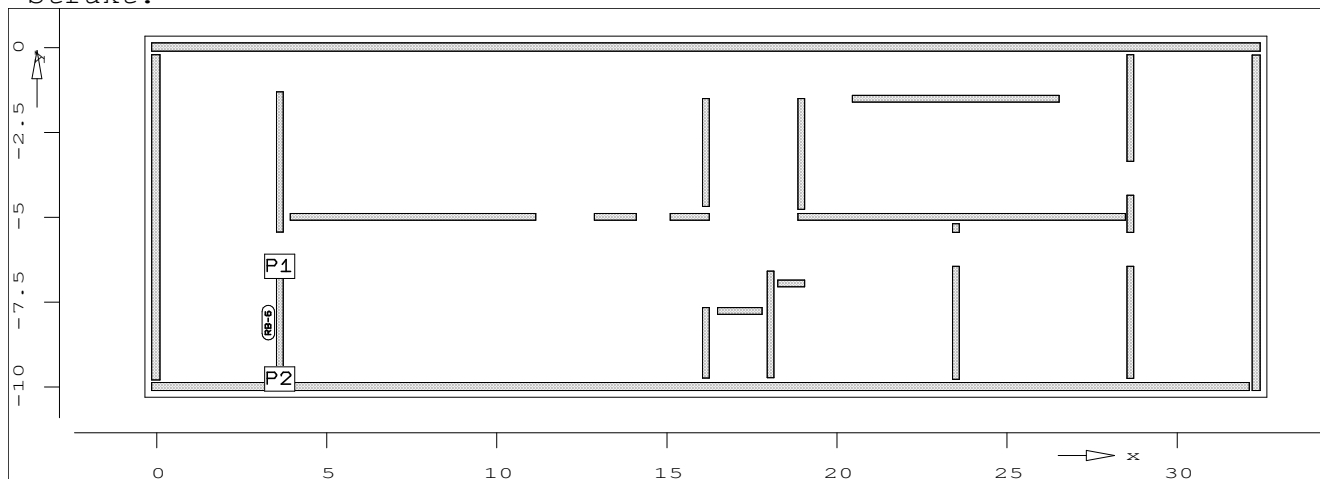
### **Poz. RB-6 - Reakcja podporowa At**

$X_p = 3.62 \text{ m}$     $X_k = 3.62 \text{ m}$     $Y_p = -6.44 \text{ m}$     $Y_k = -9.76 \text{ m}$

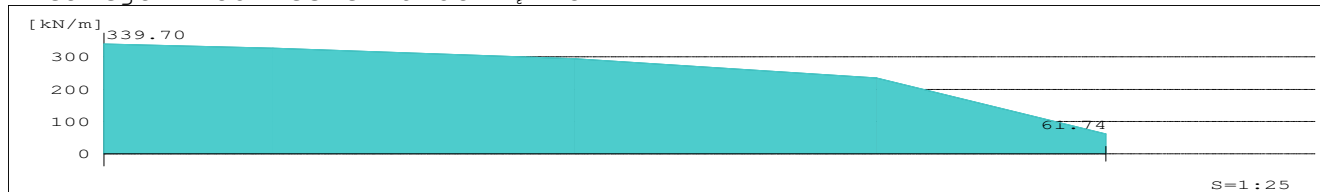
Sztywn. przy prze =  $1.67\text{e}+006 \text{ kN/m}^2$

Wyniki dla obwiedni MIN/MAX (LFN, LKN)

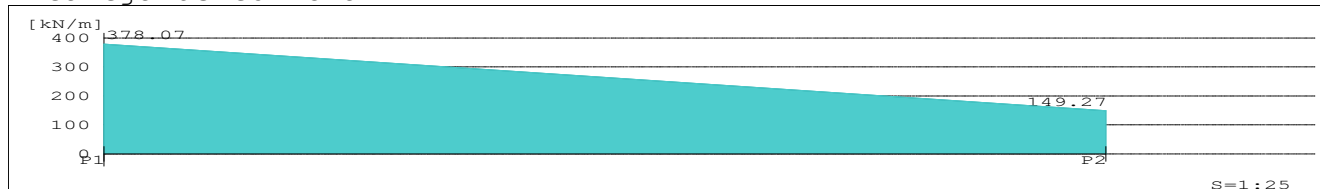
Strukt.



Reakcja w odniesieniu do węzłów



Reakcja uśredniona



	P1	Środ.	P2
min At	378.07	263.67	149.27
max At	378.07	263.67	149.27

Opis projektu:  
Pozycja:  
Data:  
Projektował:

**Bolesław płyta fundamentowa**  
**15.05.24**

**PlaTo 4.0**

Strona:

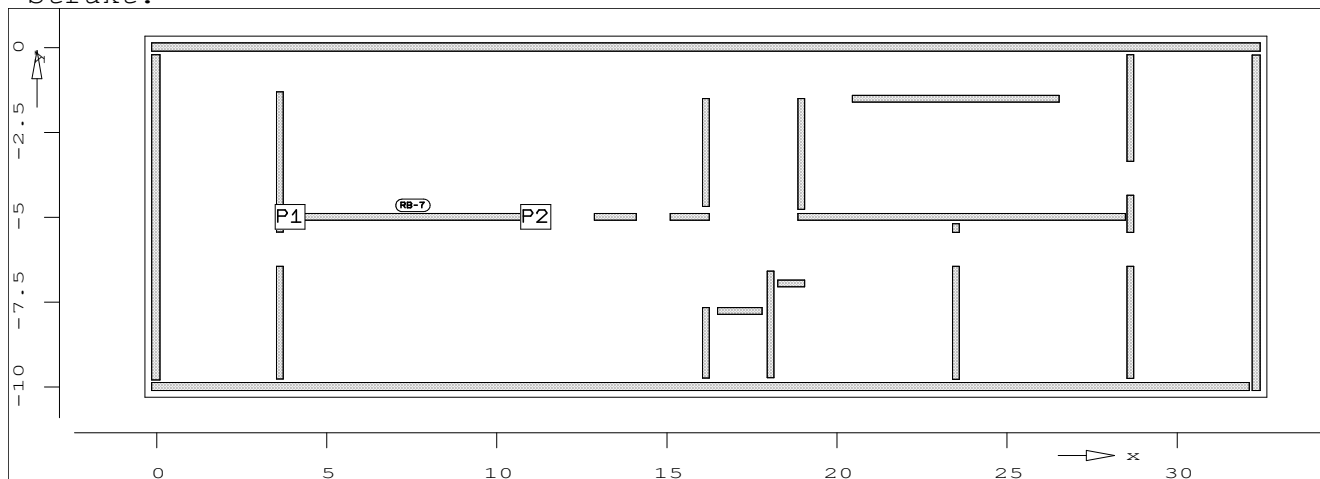
Model MES: **2419001**

Projekt: **PIYTY**

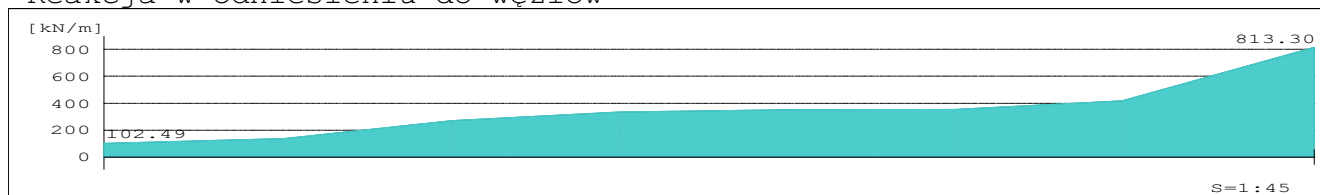
### **Poz. RB-7 - Reakcja podporowa At**

$X_p = 3.92 \text{ m}$     $X_k = 11.14 \text{ m}$     $Y_p = -4.98 \text{ m}$     $Y_k = -4.98 \text{ m}$   
Sztywn. przy prze =  $1.67\text{e}+006 \text{ kN/m}^2$   
Wyniki dla obwiedni MIN/MAX (LFN, LKN)

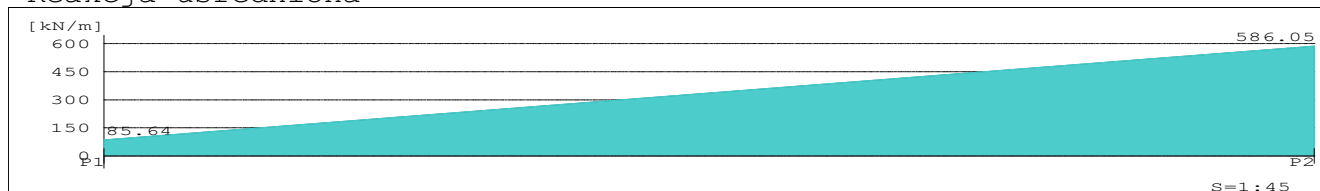
Strukt.



Reakcja w odniesieniu do węzłów



Reakcja uśredniona



	P1	Środ.	P2
min At	85.64	335.85	586.05
max At	85.64	335.85	586.05

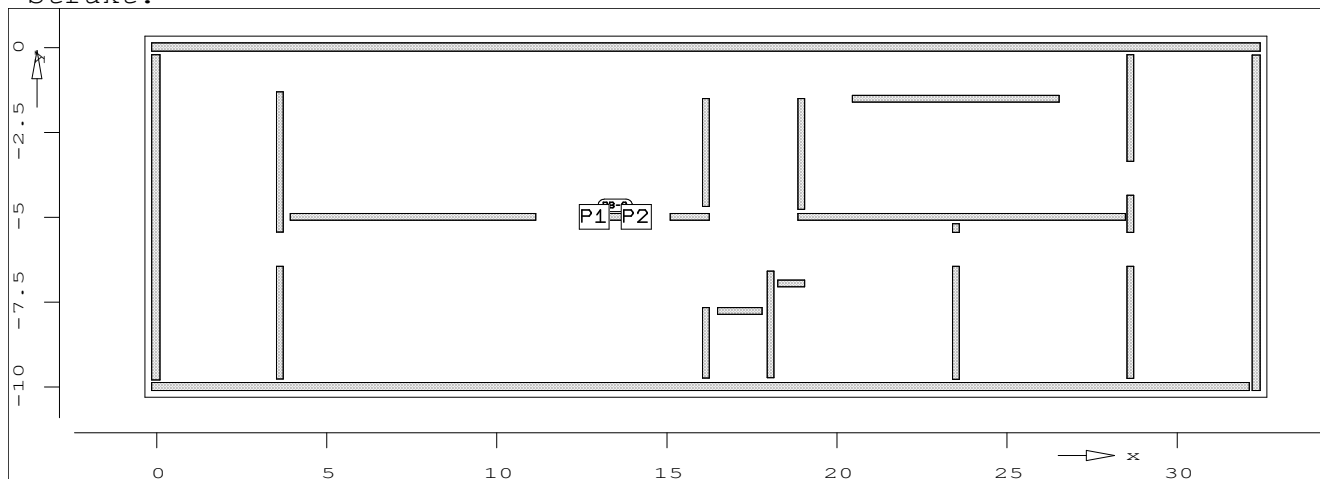
## Poz. RB-8 - Reakcja podporowa At

$X_p = 12.86 \text{ m}$     $X_k = 14.10 \text{ m}$     $Y_p = -4.98 \text{ m}$     $Y_k = -4.98 \text{ m}$

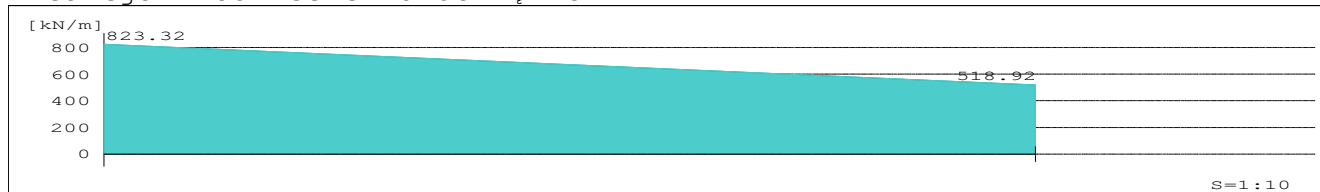
Sztywn. przy prze =  $1.67e+006 \text{ kN/m}^2$

Wyniki dla obwiedni MIN/MAX (LFN, LKN)

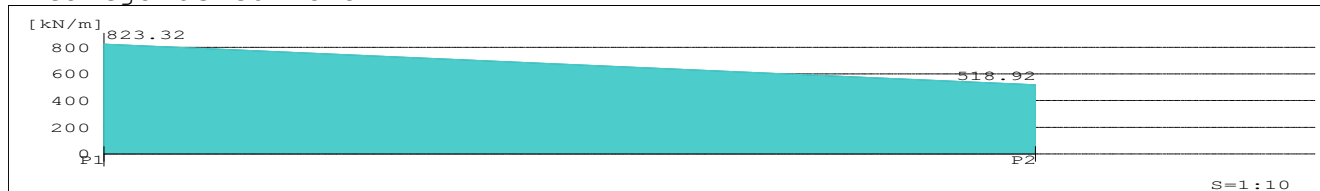
Strukt.



Reakcja w odniesieniu do węzłów



Reakcja uśredniona

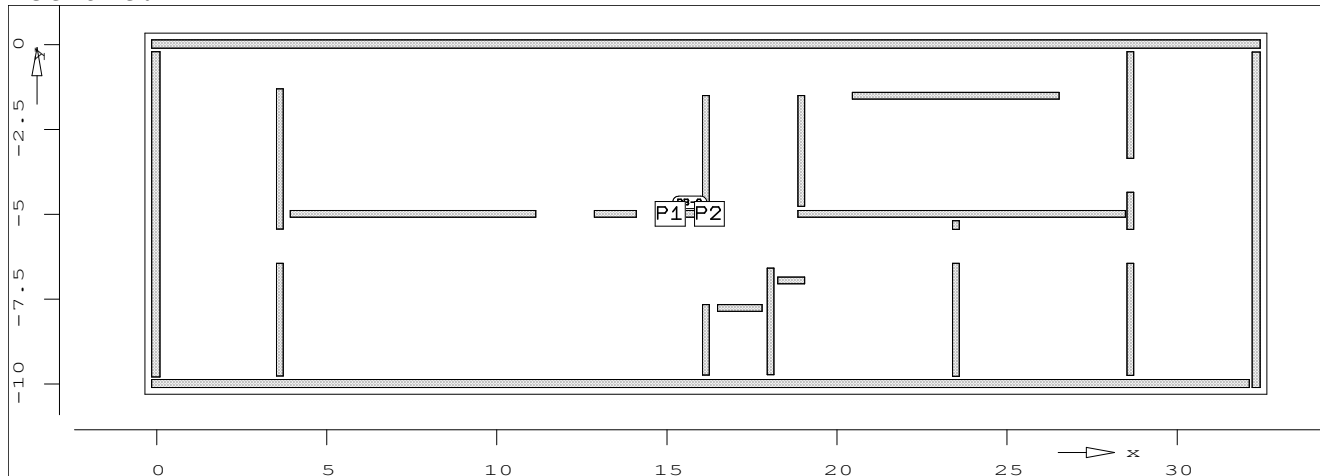


	P1	Środ.	P2
min At	823.32	671.12	518.92
max At	823.32	671.12	518.92

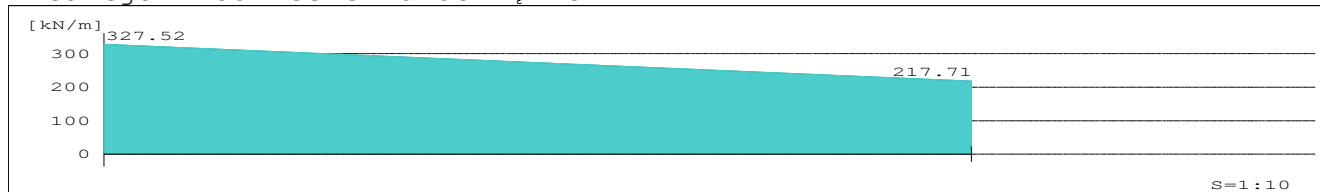
## Poz. RB-9 - Reakcja podporowa At

$X_p = 15.10 \text{ m}$     $X_k = 16.25 \text{ m}$     $Y_p = -4.98 \text{ m}$     $Y_k = -4.98 \text{ m}$   
 Sztywn. przy prze =  $1.67 \times 10^6 \text{ kN/m}^2$   
 Wyniki dla obwiedni MIN/MAX (LFN, LKN)

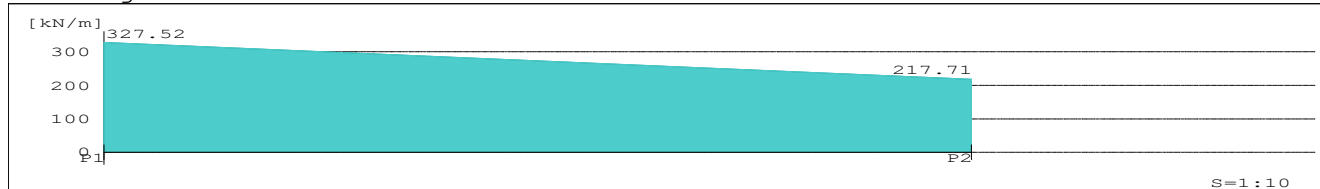
Strukt.



Reakcja w odniesieniu do węzłów



Reakcja uśredniona

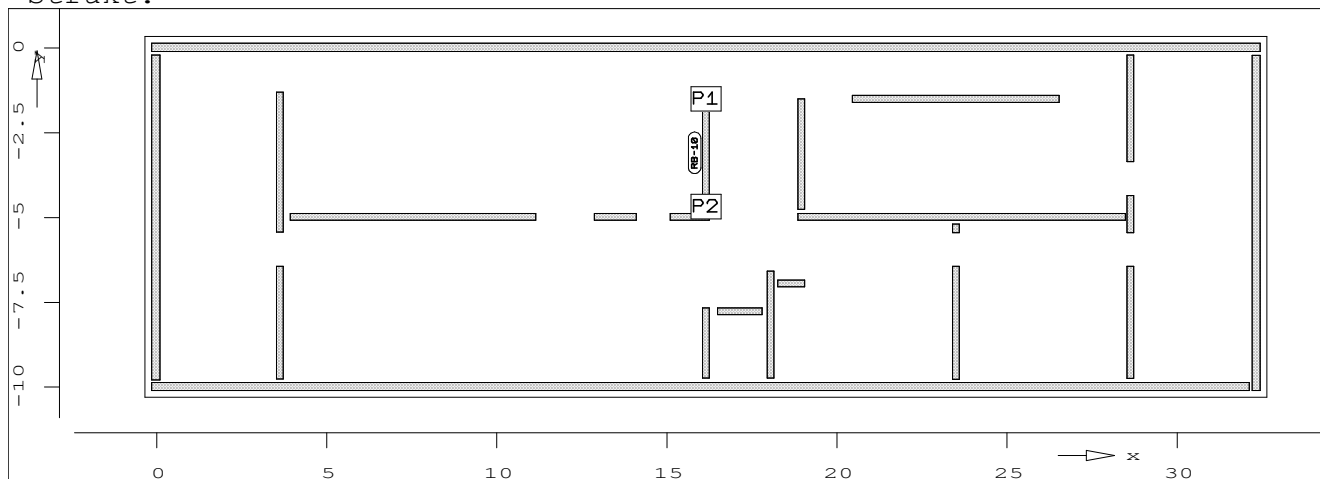


	P1	Środ.	P2
min At	327.52	272.61	217.71
max At	327.52	272.61	217.71

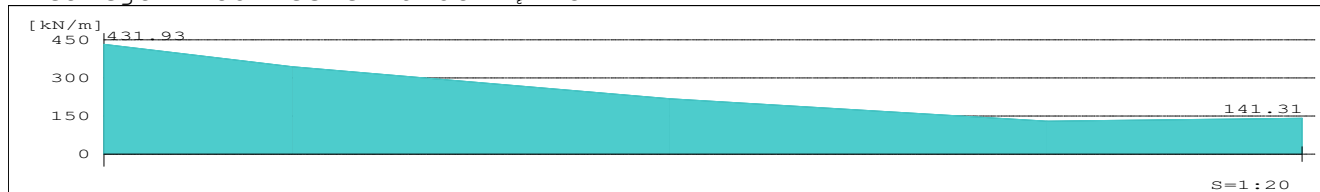
### Poz. RB-10 - Reakcja podporowa At

$X_p = 16.15 \text{ m}$     $X_k = 16.15 \text{ m}$     $Y_p = -1.50 \text{ m}$     $Y_k = -4.68 \text{ m}$   
 Sztywn. przy prze =  $1.67 \times 10^6 \text{ kN/m}^2$   
 Wyniki dla obwiedni MIN/MAX (LFN, LKN)

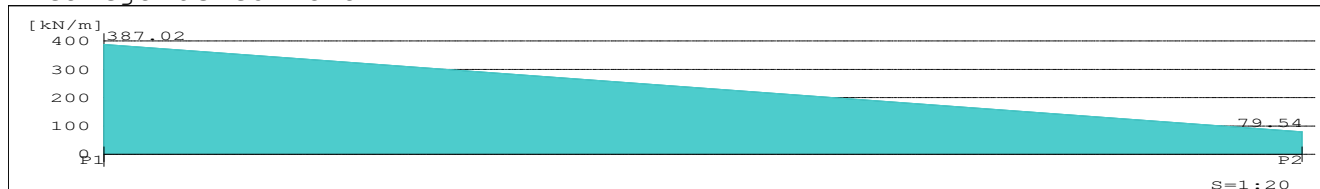
Strukt.



Reakcja w odniesieniu do węzłów



Reakcja uśredniona



	P1	Środ.	P2
min At	387.02	233.28	79.54
max At	387.02	233.28	79.54

Opis projektu:  
Pozycja:  
Data:  
Projektował:

**Bolesław płyta fundamentowa**  
**15.05.24**

**PlaTo 4.0**

Strona:

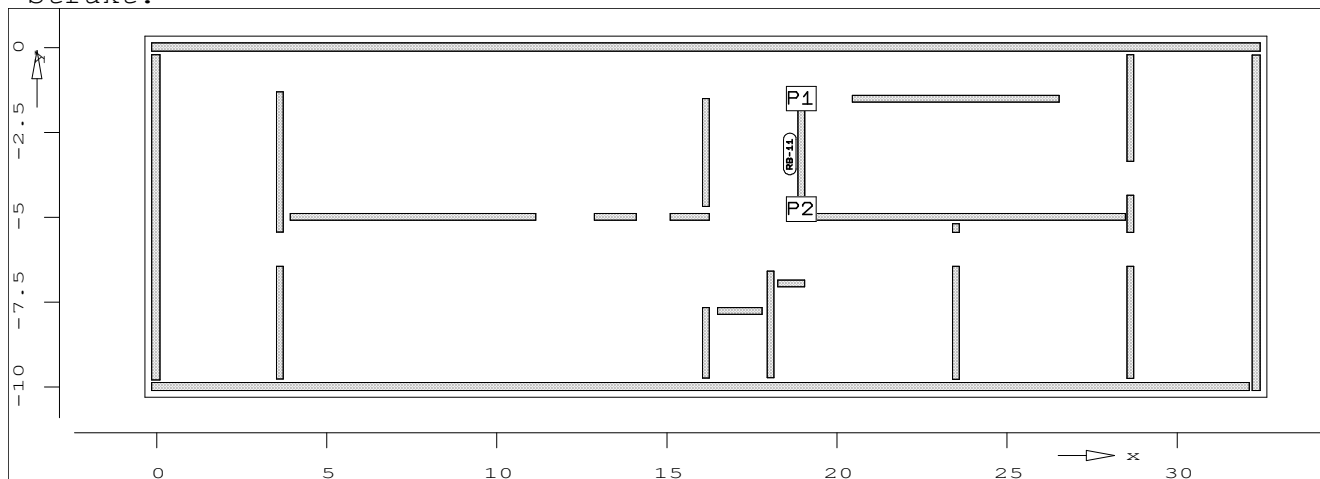
Model MES: **2419001**

Projekt: **PIYTY**

### **Poz. RB-11 - Reakcja podporowa At**

$X_p = 18.95 \text{ m}$     $X_k = 18.95 \text{ m}$     $Y_p = -1.50 \text{ m}$     $Y_k = -4.76 \text{ m}$   
Sztynwn. przy prze =  $1.67\text{e}+006 \text{ kN/m}^2$   
Wyniki dla obwiedni MIN/MAX (LFN, LKN)

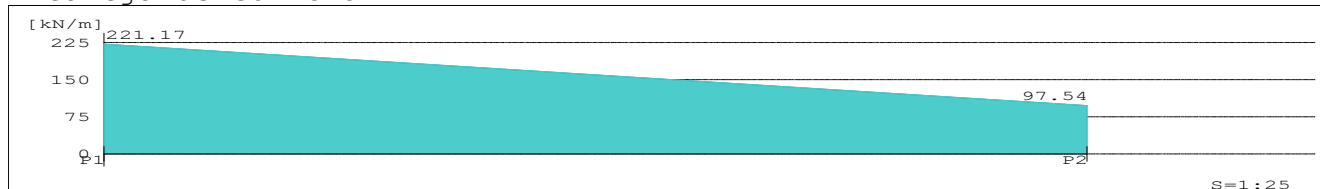
Strukt.



Reakcja w odniesieniu do węzłów



Reakcja uśredniona



	P1	Środ.	P2
min At	221.17	159.36	97.54
max At	221.17	159.36	97.54



Opis projektu:

Pozycja:

Data:

Projektował:

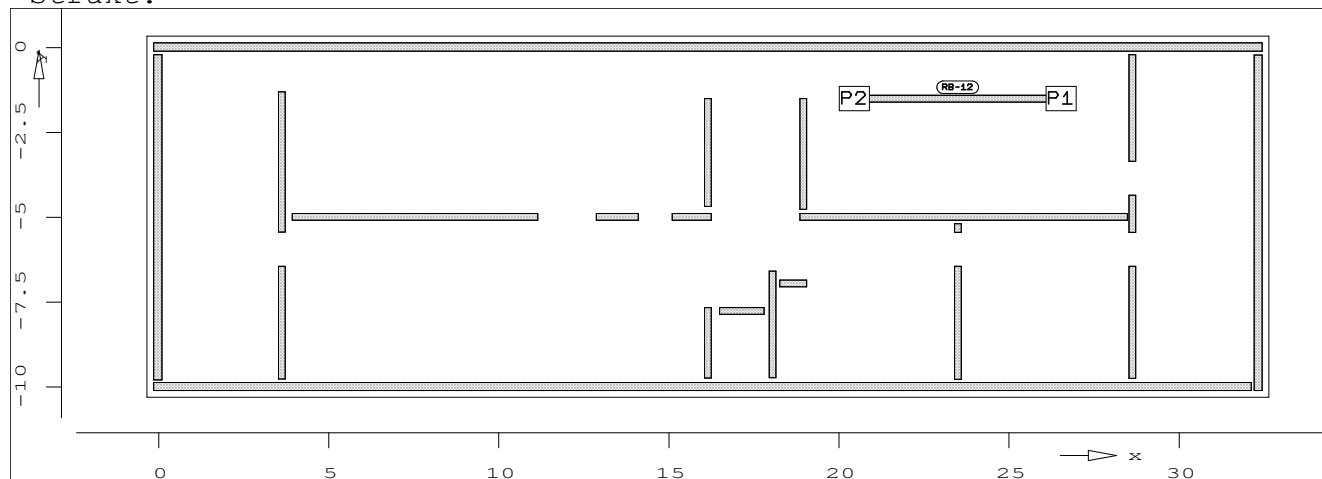
**Bolesław płyta fundamentowa****15.05.24****PlaTo 4.0**

Strona:

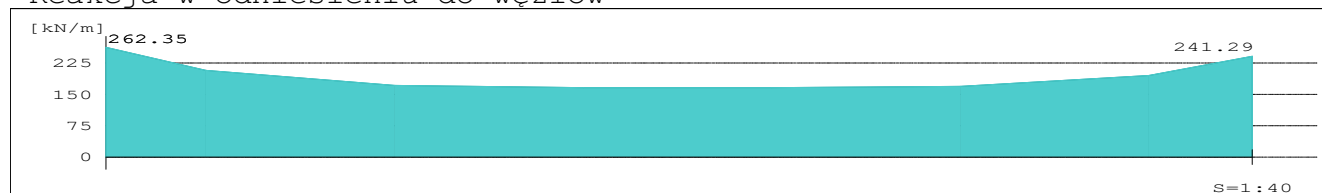
Model MES: **2419001**Projekt: **PIYTY****Poz. RB-12 - Reakcja podporowa At**
 $X_p = 26.53 \text{ m}$     $X_k = 20.45 \text{ m}$     $Y_p = -1.50 \text{ m}$     $Y_k = -1.50 \text{ m}$ 
Szttywn. przy prze =  $1.67\text{e}+006 \text{ kN/m}^2$ 

Wyniki dla obwiedni MIN/MAX (LFN, LKN)

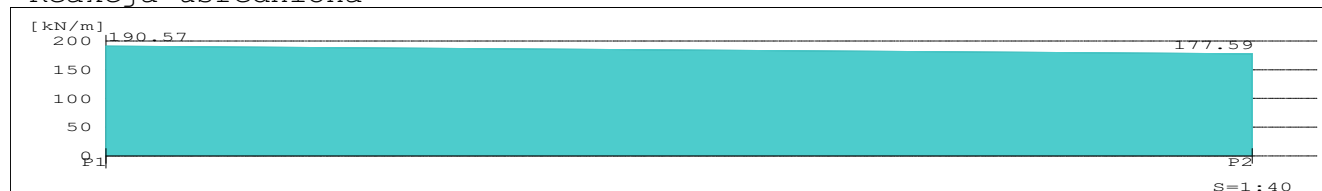
Strukt.



Reakcja w odniesieniu do węzłów



Reakcja uśredniona



	P1	Środ.	P2
min At	190.57	184.08	177.59
max At	190.57	184.08	177.59

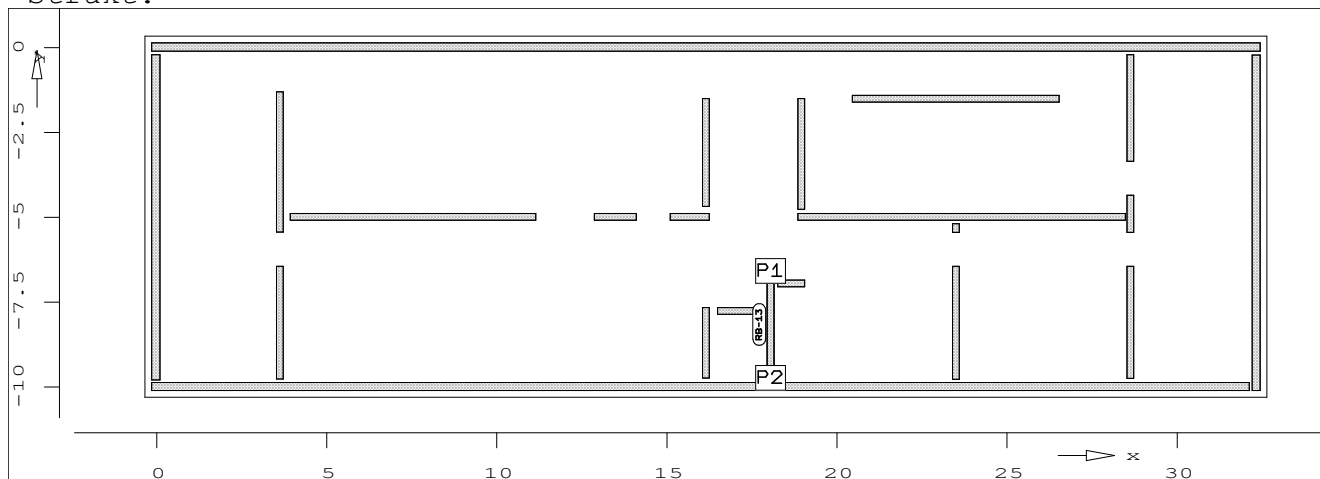
## Poz. RB-13 - Reakcja podporowa At

$X_p = 18.05 \text{ m}$     $X_k = 18.05 \text{ m}$     $Y_p = -6.58 \text{ m}$     $Y_k = -9.73 \text{ m}$

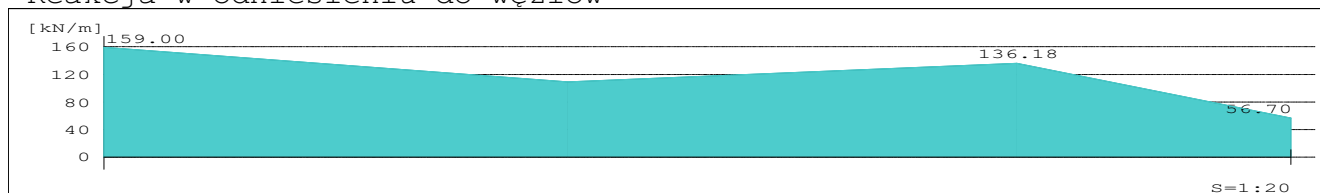
Sztywn. przy prze =  $1.67 \times 10^6 \text{ kN/m}^2$

Wyniki dla obwiedni MIN/MAX (LFN, LKN)

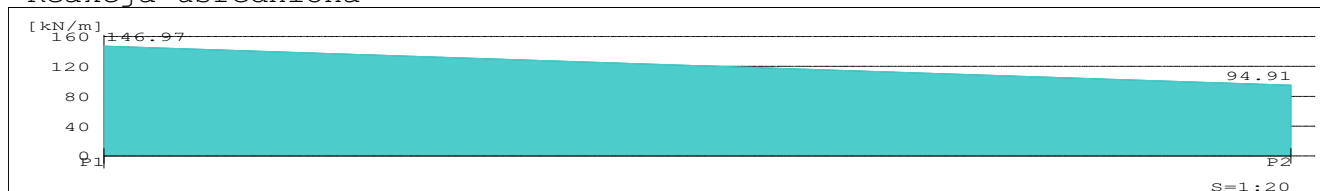
Strukt.



Reakcja w odniesieniu do węzłów



Reakcja uśredniona

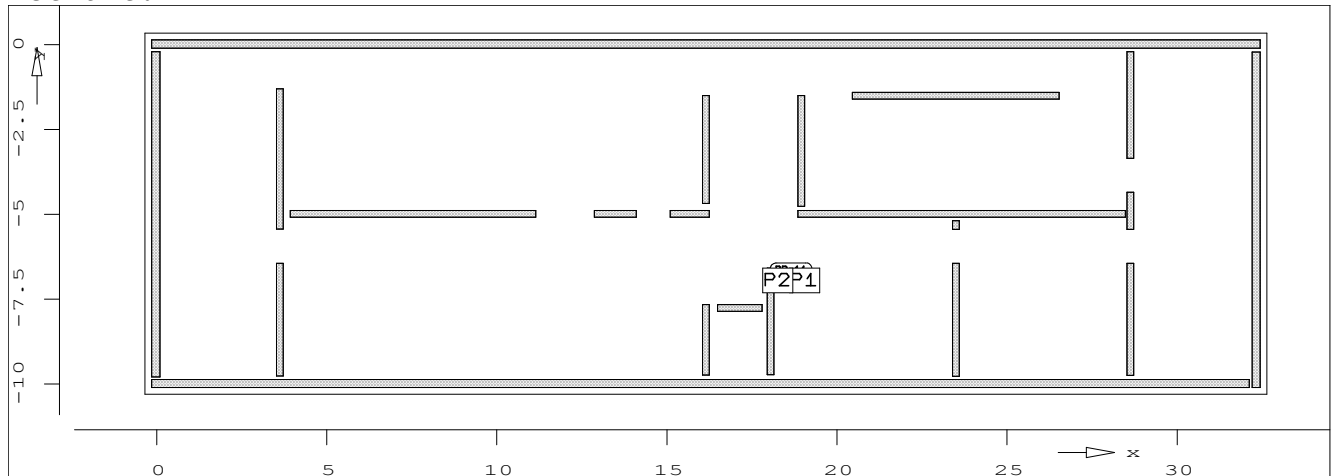


	P1	Środ.	P2
min At	146.97	120.94	94.91
max At	146.97	120.94	94.91

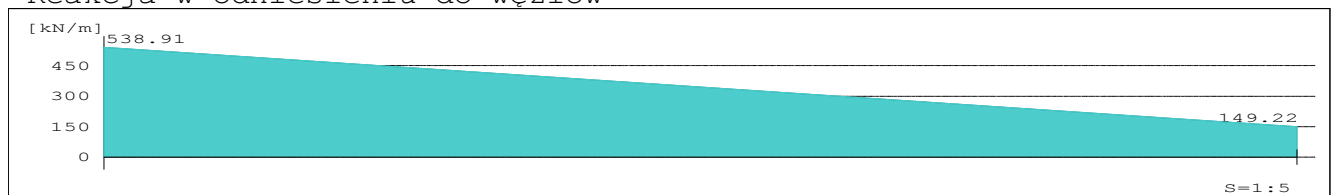
## Poz. RB-14 - Reakcja podporowa At

$X_p = 19.05 \text{ m}$     $X_k = 18.26 \text{ m}$     $Y_p = -6.94 \text{ m}$     $Y_k = -6.94 \text{ m}$   
 Sztywn. przy prze =  $1.67\text{e}+006 \text{ kN/m}^2$   
 Wyniki dla obwiedni MIN/MAX (LFN, LKN)

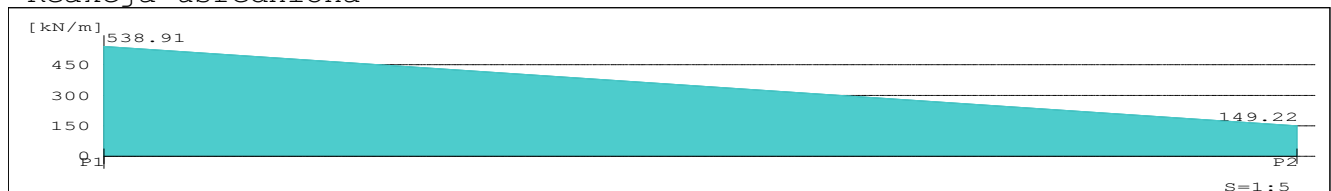
Strukt.



Reakcja w odniesieniu do węzłów



Reakcja uśredniona

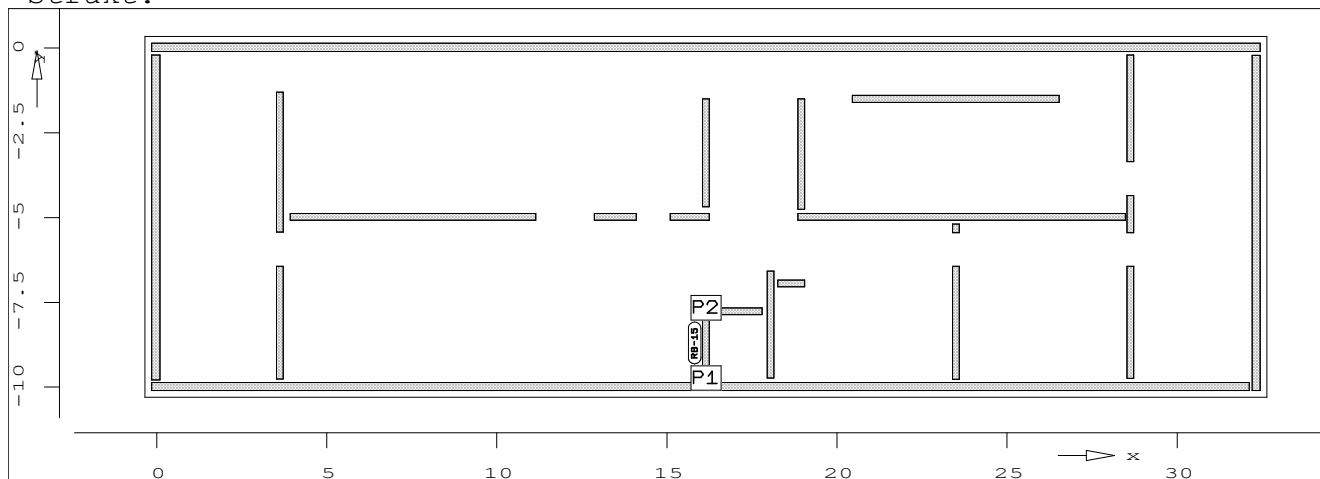


	P1	Środ.	P2
min At	538.91	344.06	149.22
max At	538.91	344.06	149.22

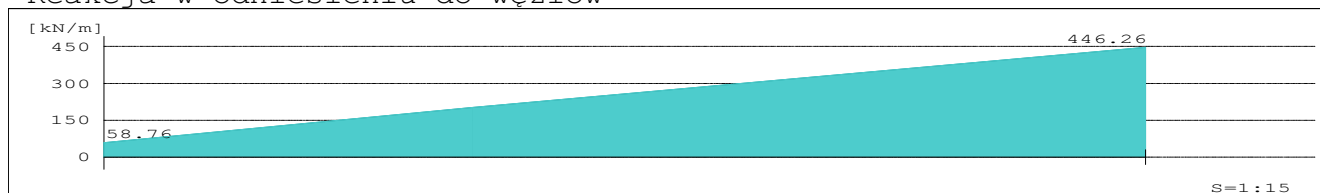
## Poz. RB-15 - Reakcja podporowa At

$X_p = 16.15 \text{ m}$     $X_k = 16.15 \text{ m}$     $Y_p = -9.73 \text{ m}$     $Y_k = -7.66 \text{ m}$   
 Sztywn. przy prze =  $1.67e+006 \text{ kN/m}^2$   
 Wyniki dla obwiedni MIN/MAX (LFN, LKN)

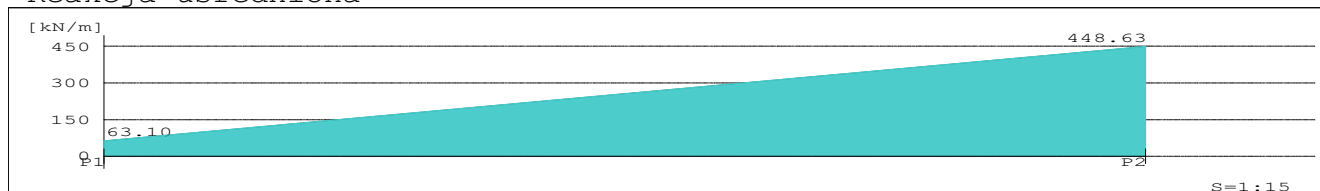
Strukt.



Reakcja w odniesieniu do węzłów



Reakcja uśredniona



	P1	Środ.	P2
min At	63.10	255.87	448.63
max At	63.10	255.87	448.63

Opis projektu:  
Pozycja: **Bolesław płyta fundamentowa**  
Data: **15.05.24**  
Projektował:

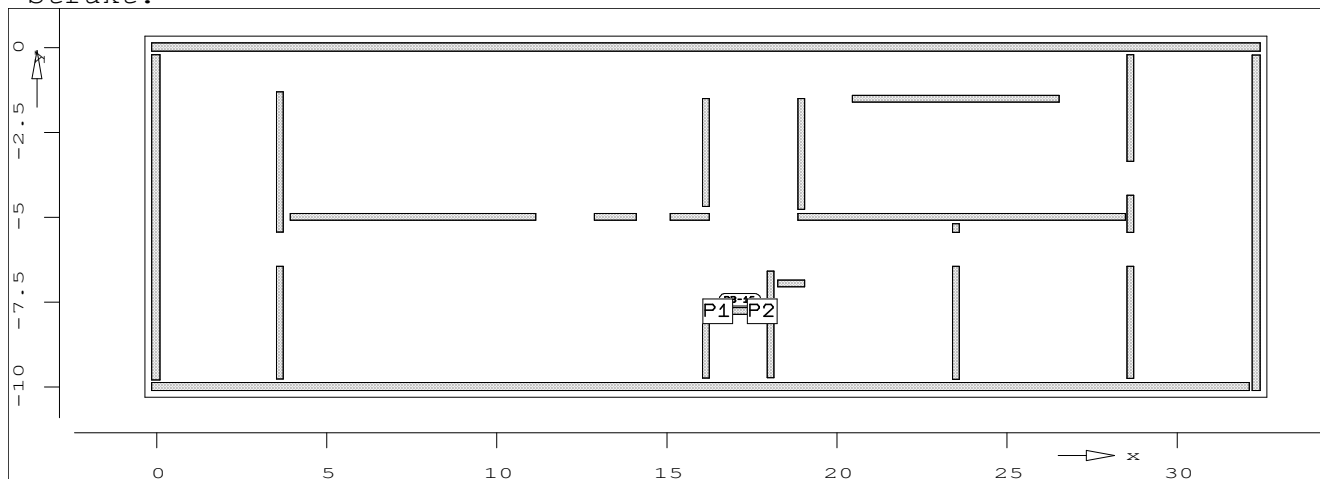
PlaTo 4.0

Strona:  
Model MES: **2419001**  
Projekt: **PIYTY**

### Poz. RB-16 - Reakcja podporowa At

$X_p = 16.49$  m     $X_k = 17.80$  m     $Y_p = -7.76$  m     $Y_k = -7.76$  m  
Sztynwn. przy prze =  $1.67e+006$  kN/m<sup>2</sup>  
Wyniki dla obwiedni MIN/MAX (LFN, LKN)

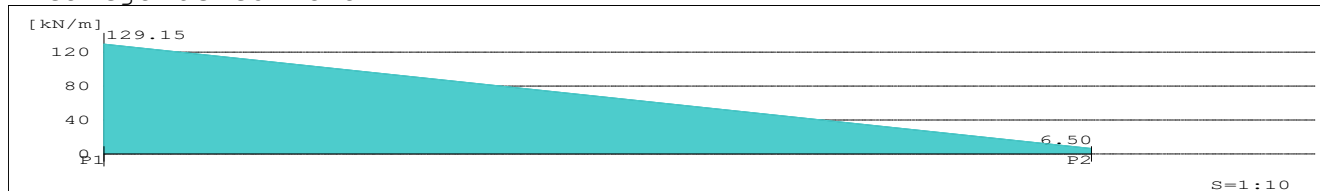
Strukt.



Reakcja w odniesieniu do węzłów



Reakcja uśredniona



	P1	Środ.	P2
min At	129.15	67.83	6.50
max At	129.15	67.83	6.50

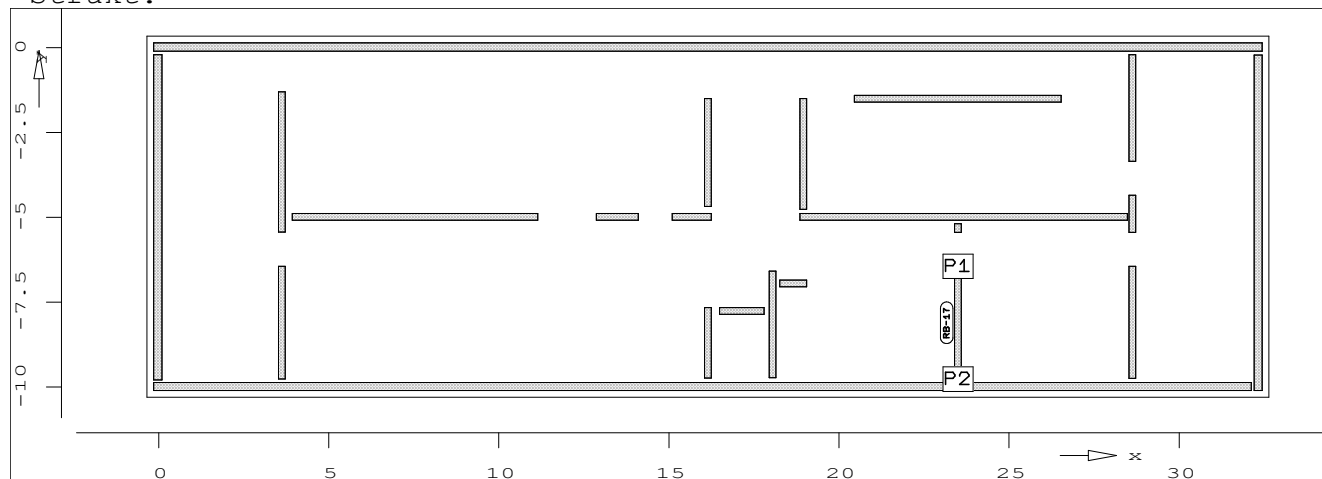
## Poz. RB-17 - Reakcja podporowa At

$X_p = 23.50$  m    $X_k = 23.50$  m    $Y_p = -6.44$  m    $Y_k = -9.77$  m

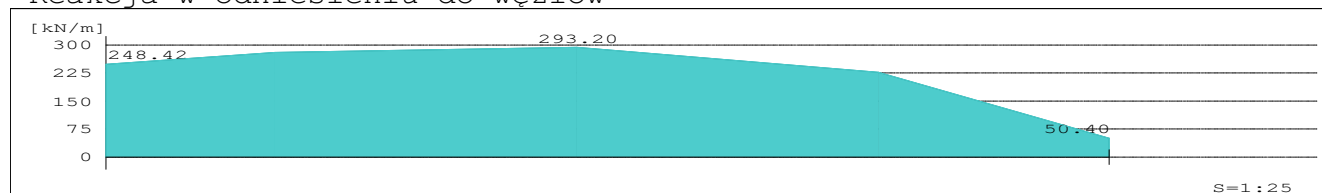
Sztywn. przy prze =  $1.67e+006$  kN/m<sup>2</sup>

Wyniki dla obwiedni MIN/MAX (LFN, LKN)

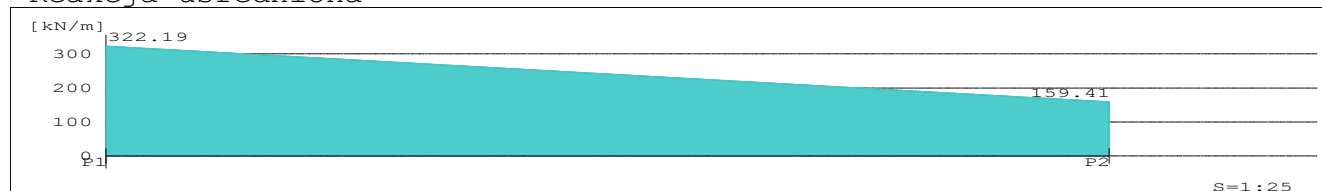
Strukt.



Reakcja w odniesieniu do węzłów



Reakcja uśredniona

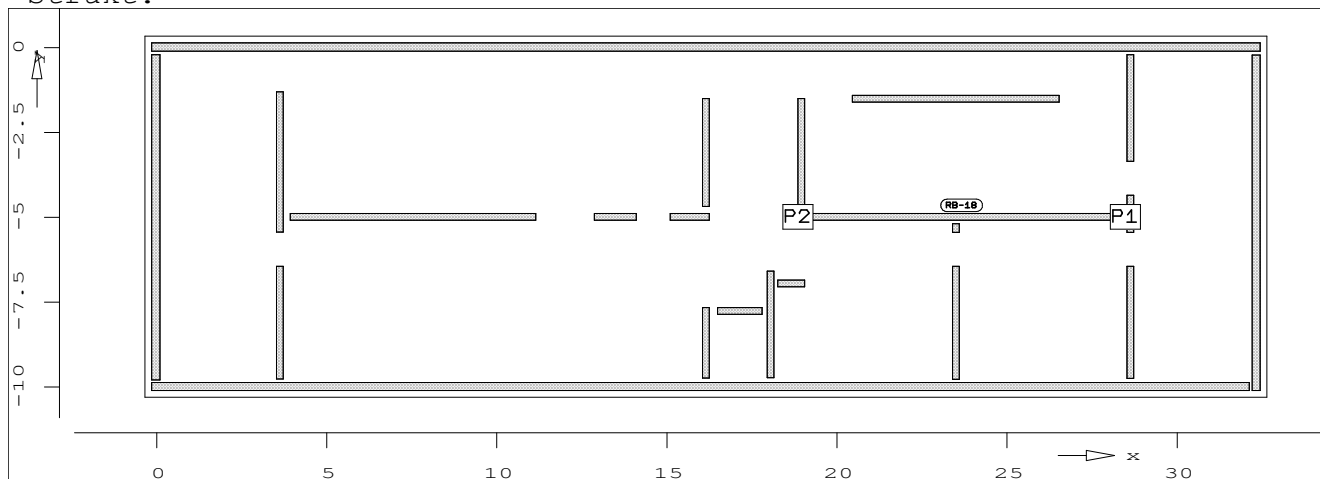


	P1	Środ.	P2
min At	322.19	240.80	159.41
max At	322.19	240.80	159.41

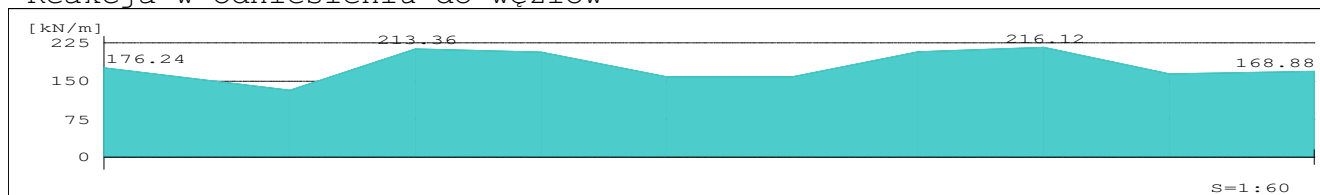
## Poz. RB-18 - Reakcja podporowa At

$X_p = 28.48 \text{ m}$     $X_k = 18.85 \text{ m}$     $Y_p = -4.98 \text{ m}$     $Y_k = -4.98 \text{ m}$   
 Sztywn. przy prze =  $1.67e+006 \text{ kN/m}^2$   
 Wyniki dla obwiedni MIN/MAX (LFN, LKN)

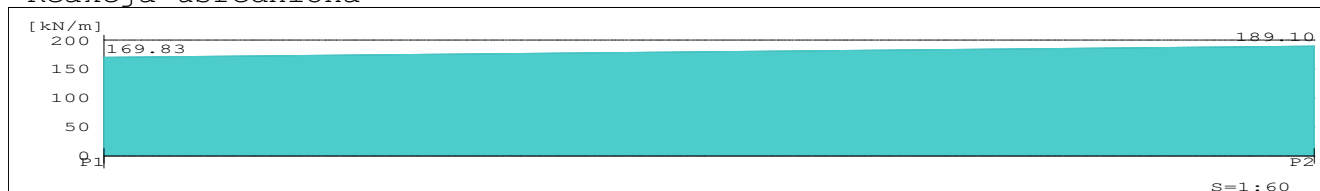
Strukt.



Reakcja w odniesieniu do węzłów



Reakcja uśredniona



	P1	Środ.	P2
min At	169.83	179.46	189.10
max At	169.83	179.46	189.10

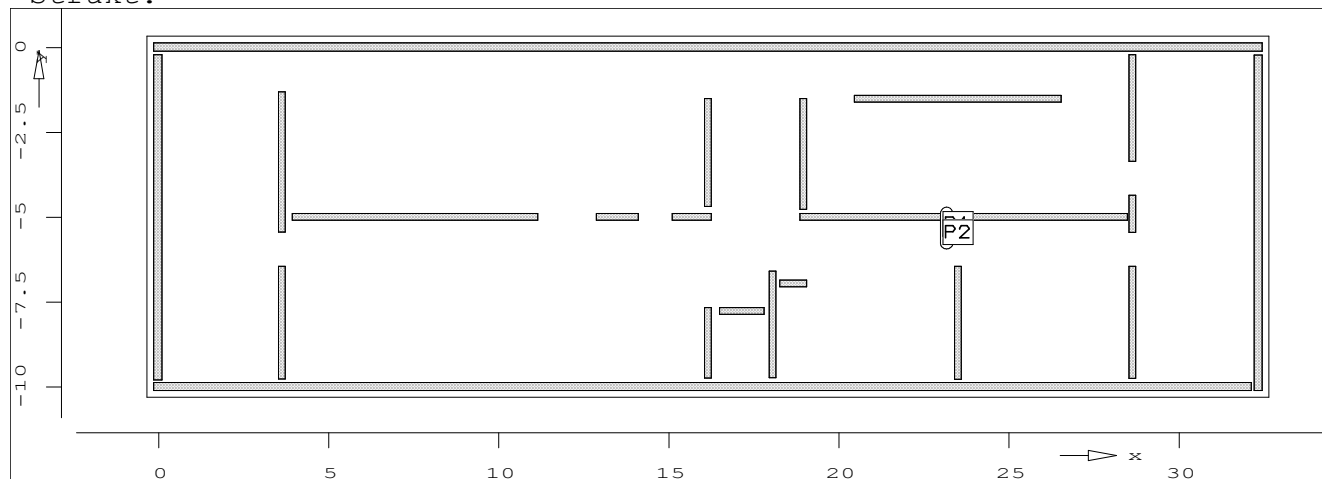
## Poz. RB-19 - Reakcja podporowa At

$X_p = 23.50 \text{ m}$     $X_k = 23.50 \text{ m}$     $Y_p = -5.19 \text{ m}$     $Y_k = -5.44 \text{ m}$

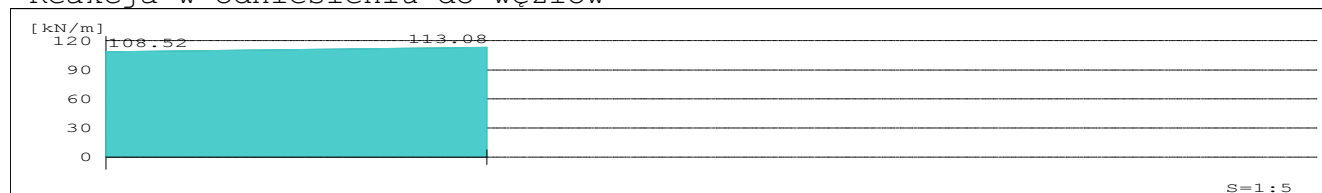
Sztywn. przy prze =  $1.67 \times 10^6 \text{ kN/m}^2$

Wyniki dla obwiedni MIN/MAX (LFN, LKN)

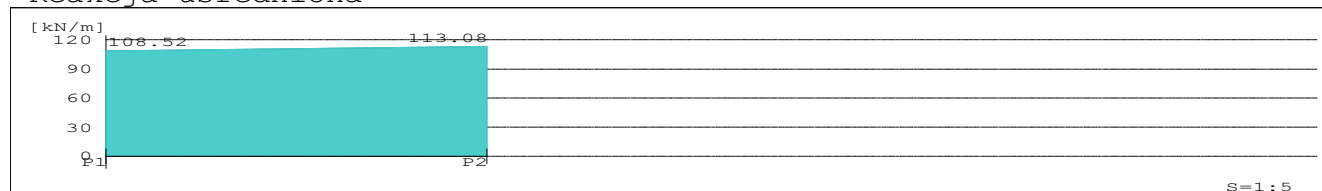
Strukt.



Reakcja w odniesieniu do węzłów



Reakcja uśredniona



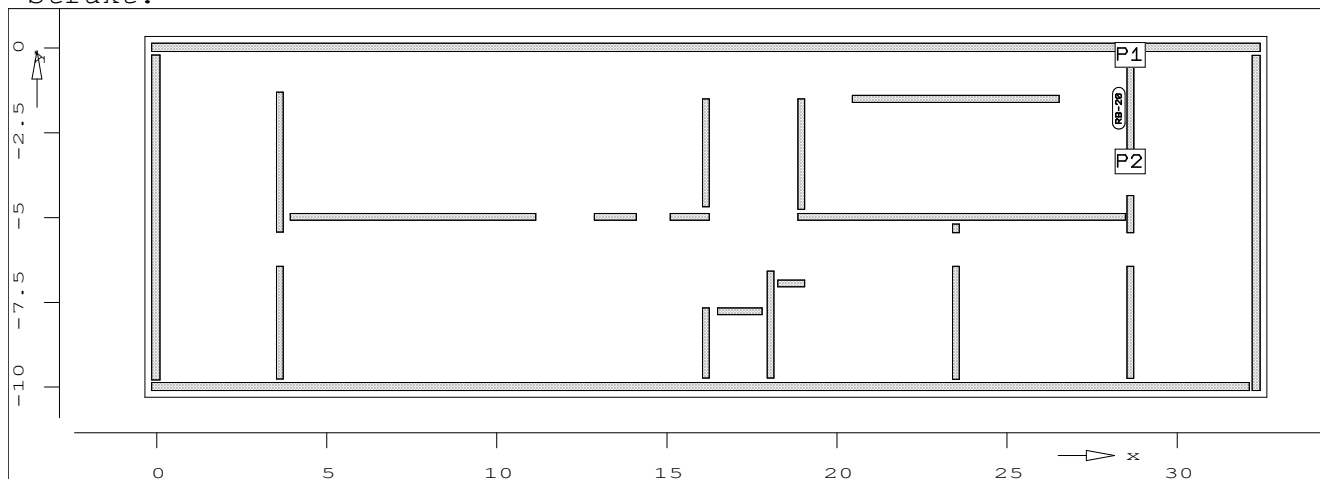
	P1	Środ.	P2
min At	108.52	110.80	113.08
max At	108.52	110.80	113.08



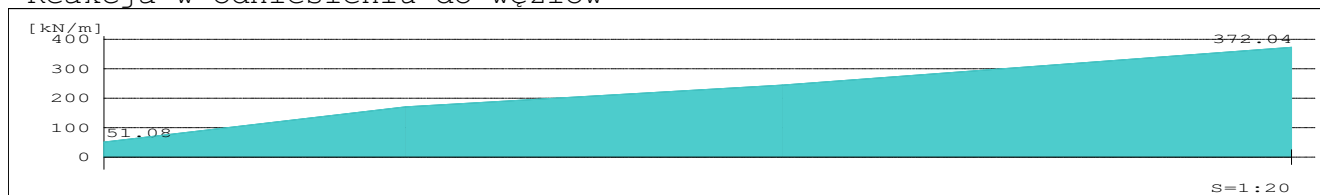
## Poz. RB-20 - Reakcja podporowa At

$X_p = 28.62 \text{ m}$     $X_k = 28.62 \text{ m}$     $Y_p = -0.20 \text{ m}$     $Y_k = -3.35 \text{ m}$   
 Sztywn. przy prze =  $1.67 \times 10^6 \text{ kN/m}^2$   
 Wyniki dla obwiedni MIN/MAX (LFN, LKN)

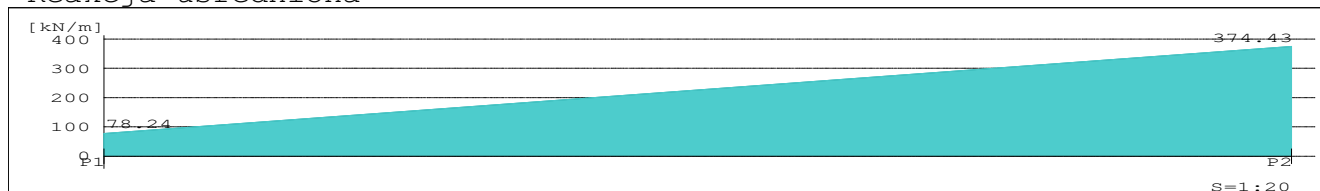
Strukt.



Reakcja w odniesieniu do węzłów



Reakcja uśredniona

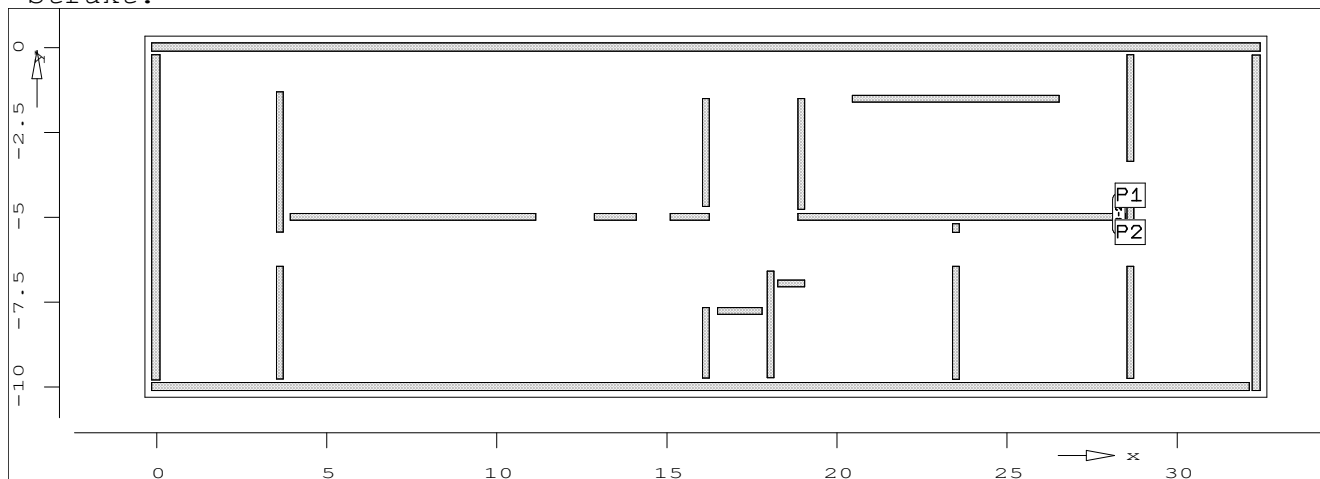


	P1	Środ.	P2
min At	78.24	226.34	374.43
max At	78.24	226.34	374.43

## Poz. RB-21 - Reakcja podporowa At

$X_p = 28.62 \text{ m}$     $X_k = 28.62 \text{ m}$     $Y_p = -4.35 \text{ m}$     $Y_k = -5.44 \text{ m}$   
 Sztywn. przy prze =  $1.67 \times 10^6 \text{ kN/m}^2$   
 Wyniki dla obwiedni MIN/MAX (LFN, LKN)

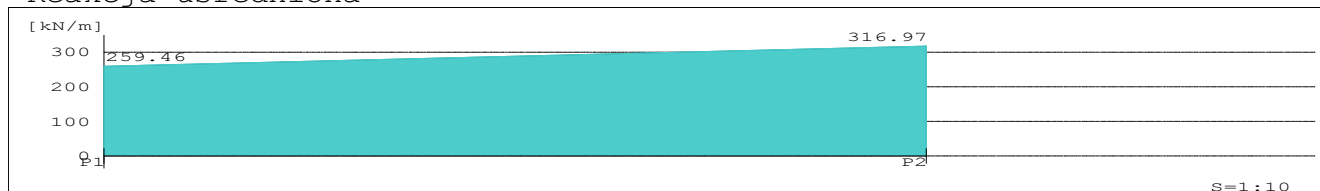
Strukt.



Reakcja w odniesieniu do węzłów



Reakcja uśredniona



	P1	Środ.	P2
min At	259.46	288.22	316.97
max At	259.46	288.22	316.97

Opis projektu:  
 Pozycja: **Bolesław płyta fundamentowa**  
 Data: **15.05.24**  
 Projektował:

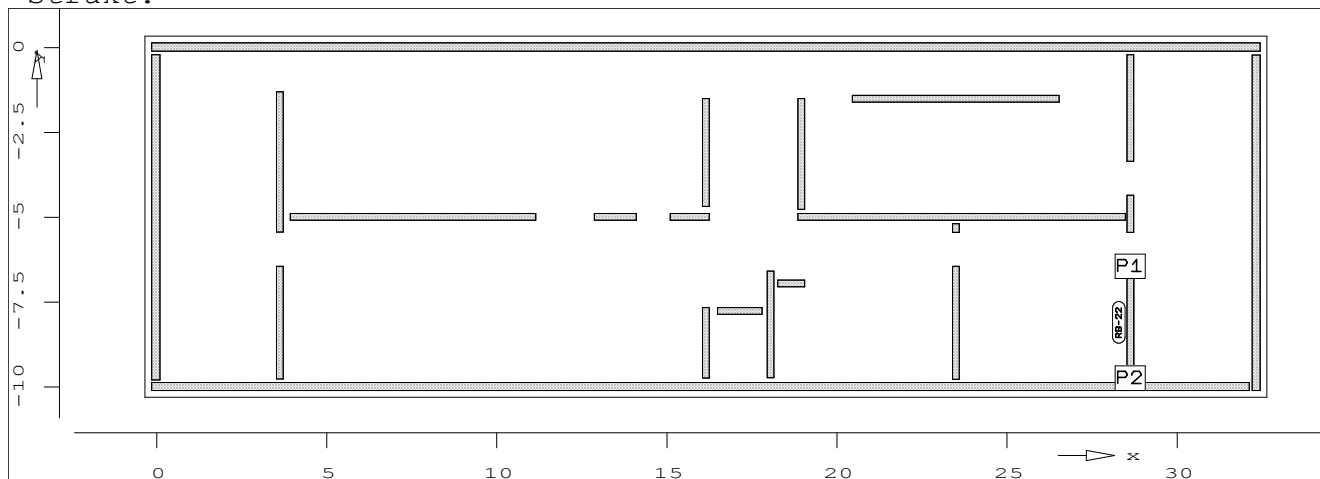
PlaTo 4.0

Strona:  
 Model MES: **2419001**  
 Projekt: **PIYTY**

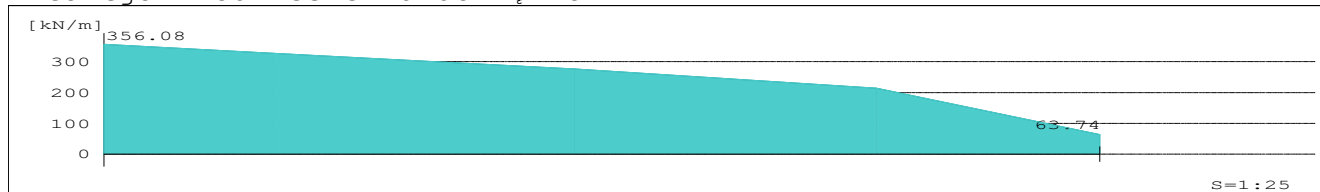
## Poz. RB-22 - Reakcja podporowa At

$X_p = 28.62 \text{ m}$     $X_k = 28.62 \text{ m}$     $Y_p = -6.44 \text{ m}$     $Y_k = -9.74 \text{ m}$   
 Sztywn. przy prze =  $1.67 \times 10^6 \text{ kN/m}^2$   
 Wyniki dla obwiedni MIN/MAX (LFN, LKN)

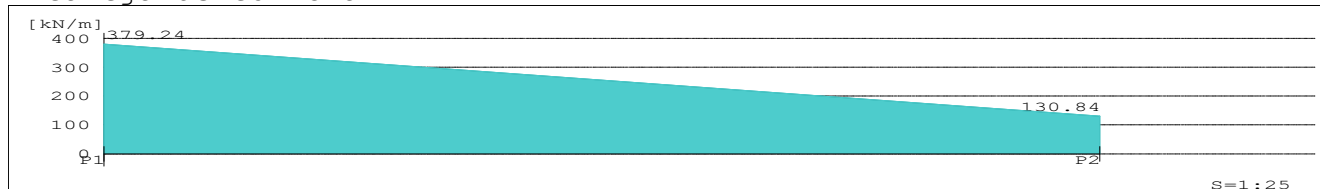
Strukt.



Reakcja w odniesieniu do węzłów

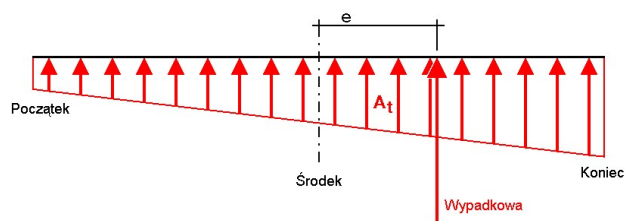


Reakcja uśredniona



	P1	Środ.	P2
min At	379.24	255.04	130.84
max At	379.24	255.04	130.84

## Podpora liniowa



Wypadk. wypadkowa z reakcji podporowej  
 e odległość wypadkowej od środka podpory

Reihenfolge der Ausgabe: min At Anfang  
 max At Anfang  
 min At Mitte  
 max At Mitte  
 min At Ende  
 max At Ende

Wyniki z obwiednią MIN/MAX

Pozycja	Długość [m]	At [kN/m]			Wypadk. [kN]	e [m]
		Początek	Środek	Koniec		
RB-1	32.58	min	90.47	61.20	1993.89	-2.6
		max	90.47	61.20	1993.89	-2.6
		min	90.47	61.20	1993.89	-2.6
		max	90.47	61.20	1993.89	-2.6
		min	90.47	61.20	1993.89	-2.6
		max	90.47	61.20	1993.89	-2.6
RB-2	9.88	min	107.10	83.73	827.38	-0.5
		max	107.10	83.73	827.38	-0.5
		min	107.10	83.73	827.38	-0.5
		max	107.10	83.73	827.38	-0.5
		min	107.10	83.73	827.38	-0.5
		max	107.10	83.73	827.38	-0.5
RB-3	32.26	min	51.56	63.07	2034.65	1.0
		max	51.56	63.07	2034.65	1.0
		min	51.56	63.07	2034.65	1.0
		max	51.56	63.07	2034.65	1.0
		min	51.56	63.07	2034.65	1.0
		max	51.56	63.07	2034.65	1.0
RB-4	9.58	min	80.61	85.32	817.32	0.1
		max	80.61	85.32	817.32	0.1
		min	80.61	85.32	817.32	0.1
		max	80.61	85.32	817.32	0.1
		min	80.61	85.32	817.32	0.1
		max	80.61	85.32	817.32	0.1
RB-5	4.13	min	363.43	271.48	1121.20	-0.2
		max	363.43	271.48	1121.20	-0.2
		min	363.43	271.48	1121.20	-0.2
		max	363.43	271.48	1121.20	-0.2
		min	363.43	271.48	1121.20	-0.2
		max	363.43	271.48	1121.20	-0.2
RB-6	3.32	min	378.07	263.67	875.40	-0.2
		max	378.07	263.67	875.40	-0.2
		min	378.07	263.67	875.40	-0.2
		max	378.07	263.67	875.40	-0.2
		min	378.07	263.67	875.40	-0.2
		max	378.07	263.67	875.40	-0.2

Opis projektu:	Bolesław płyta fundamentowa			Strona:
Pozycja:	15.05.24			Model MES: 2419001
Data:	PlaTo 4.0			Projekt: PIYTY
Projektował:				

Wyniki z obwiednią MIN/MAX

Pozycja	Długość [m]		At [kN/m]			Wypadk. [kN]	e [m]
			Początek	Środek	Koniec		
		max	378.07	263.67	149.27	875.40	-0.2
RB-7	7.22	min	85.64	335.85	586.05	2424.80	0.9
		max	85.64	335.85	586.05	2424.80	0.9
		min	85.64	335.85	586.05	2424.80	0.9
		max	85.64	335.85	586.05	2424.80	0.9
		min	85.64	335.85	586.05	2424.80	0.9
		max	85.64	335.85	586.05	2424.80	0.9
RB-8	1.24	min	823.32	671.12	518.92	828.85	-0.0
		max	823.32	671.12	518.92	828.85	-0.0
		min	823.32	671.12	518.92	828.85	-0.0
		max	823.32	671.12	518.92	828.85	-0.0
		min	823.32	671.12	518.92	828.85	-0.0
		max	823.32	671.12	518.92	828.85	-0.0
RB-9	1.15	min	327.52	272.61	217.71	313.51	-0.0
		max	327.52	272.61	217.71	313.51	-0.0
		min	327.52	272.61	217.71	313.51	-0.0
		max	327.52	272.61	217.71	313.51	-0.0
		min	327.52	272.61	217.71	313.51	-0.0
		max	327.52	272.61	217.71	313.51	-0.0
RB-10	3.18	min	387.02	233.28	79.54	741.14	-0.3
		max	387.02	233.28	79.54	741.14	-0.3
		min	387.02	233.28	79.54	741.14	-0.3
		max	387.02	233.28	79.54	741.14	-0.3
		min	387.02	233.28	79.54	741.14	-0.3
		max	387.02	233.28	79.54	741.14	-0.3
RB-11	3.26	min	221.17	159.36	97.54	519.16	-0.2
		max	221.17	159.36	97.54	519.16	-0.2
		min	221.17	159.36	97.54	519.16	-0.2
		max	221.17	159.36	97.54	519.16	-0.2
		min	221.17	159.36	97.54	519.16	-0.2
		max	221.17	159.36	97.54	519.16	-0.2
RB-12	6.08	min	190.57	184.08	177.59	1119.10	-0.0
		max	190.57	184.08	177.59	1119.10	-0.0
		min	190.57	184.08	177.59	1119.10	-0.0
		max	190.57	184.08	177.59	1119.10	-0.0
		min	190.57	184.08	177.59	1119.10	-0.0
		max	190.57	184.08	177.59	1119.10	-0.0
RB-13	3.15	min	146.97	120.94	94.91	380.64	-0.1
		max	146.97	120.94	94.91	380.64	-0.1
		min	146.97	120.94	94.91	380.64	-0.1
		max	146.97	120.94	94.91	380.64	-0.1
		min	146.97	120.94	94.91	380.64	-0.1
		max	146.97	120.94	94.91	380.64	-0.1
RB-14	0.79	min	538.91	344.06	149.22	272.15	-0.1
		max	538.91	344.06	149.22	272.15	-0.1
		min	538.91	344.06	149.22	272.15	-0.1
		max	538.91	344.06	149.22	272.15	-0.1
		min	538.91	344.06	149.22	272.15	-0.1
		max	538.91	344.06	149.22	272.15	-0.1
RB-15	2.07	min	63.10	255.87	448.63	530.04	0.3
		max	63.10	255.87	448.63	530.04	0.3

Opis projektu:	Bolesław płyta fundamentowa			Strona:
Pozycja:	15.05.24			Model MES: 2419001
Data:	PlaTo 4.0			Projekt: PIYTY
Projektował:				

Wyniki z obwiednią MIN/MAX

Pozycja	Długość [m]		At [kN/m]			Wypadk. [kN]	e [m]
			Początek	Środek	Koniec		
		min	63.10	255.87	448.63	530.04	0.3
		max	63.10	255.87	448.63	530.04	0.3
		min	63.10	255.87	448.63	530.04	0.3
		max	63.10	255.87	448.63	530.04	0.3
RB-16	1.31	min	129.15	67.83	6.50	88.78	-0.2
		max	129.15	67.83	6.50	88.78	-0.2
		min	129.15	67.83	6.50	88.78	-0.2
		max	129.15	67.83	6.50	88.78	-0.2
		min	129.15	67.83	6.50	88.78	-0.2
		max	129.15	67.83	6.50	88.78	-0.2
RB-17	3.33	min	322.19	240.80	159.41	800.75	-0.2
		max	322.19	240.80	159.41	800.75	-0.2
		min	322.19	240.80	159.41	800.75	-0.2
		max	322.19	240.80	159.41	800.75	-0.2
		min	322.19	240.80	159.41	800.75	-0.2
		max	322.19	240.80	159.41	800.75	-0.2
RB-18	9.63	min	169.83	179.46	189.10	1727.60	0.1
		max	169.83	179.46	189.10	1727.60	0.1
		min	169.83	179.46	189.10	1727.60	0.1
		max	169.83	179.46	189.10	1727.60	0.1
		min	169.83	179.46	189.10	1727.60	0.1
		max	169.83	179.46	189.10	1727.60	0.1
RB-19	0.25	min	108.52	110.80	113.08	27.96	0.0
		max	108.52	110.80	113.08	27.96	0.0
		min	108.52	110.80	113.08	27.96	0.0
		max	108.52	110.80	113.08	27.96	0.0
		min	108.52	110.80	113.08	27.96	0.0
		max	108.52	110.80	113.08	27.96	0.0
RB-20	3.15	min	78.24	226.34	374.43	712.67	0.3
		max	78.24	226.34	374.43	712.67	0.3
		min	78.24	226.34	374.43	712.67	0.3
		max	78.24	226.34	374.43	712.67	0.3
		min	78.24	226.34	374.43	712.67	0.3
		max	78.24	226.34	374.43	712.67	0.3
RB-21	1.09	min	259.46	288.22	316.97	314.16	0.0
		max	259.46	288.22	316.97	314.16	0.0
		min	259.46	288.22	316.97	314.16	0.0
		max	259.46	288.22	316.97	314.16	0.0
		min	259.46	288.22	316.97	314.16	0.0
		max	259.46	288.22	316.97	314.16	0.0
RB-22	3.30	min	379.24	255.04	130.84	841.63	-0.3
		max	379.24	255.04	130.84	841.63	-0.3
		min	379.24	255.04	130.84	841.63	-0.3
		max	379.24	255.04	130.84	841.63	-0.3
		min	379.24	255.04	130.84	841.63	-0.3
		max	379.24	255.04	130.84	841.63	-0.3